

4<sup>o</sup> H. nat. 278 / 36b, 1  
**ZEITSCHRIFT FÜR  
NATURFORSCHUNG**

**TEIL B**

**Anorganische Chemie, Organische Chemie**

Kuratorium

E. BÜNNING, Tübingen  
A. BUTENANDT, München  
M. EIGEN, Göttingen  
W. GENTNER, Heidelberg

Schriftführende Herausgeber

H. P. FRITZ, München  
R. GOMPPER, München  
H. SCHMIDBAUR, München

Beratende Herausgeber

E. O. FISCHER, München  
G. GLIEMANN, Regensburg  
H. NÖTH, München  
D. SCHULTE-FROHLINDE, Mülheim/R.  
F. F. SEELIG, Tübingen  
W. STEGLICH, Bonn  
W. VOELTER, Tübingen  
A. WEISS, München

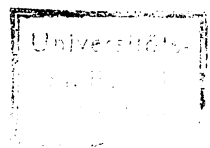
HERAUSGEGEBEN UNTER MITWIRKUNG  
DER INSTITUTE DER MAX-PLANCK-GESELLSCHAFT

BAND 36b

Z 133

1981

VERLAG DER ZEITSCHRIFT FÜR NATURFORSCHUNG  
TÜBINGEN



**Teil a**

**enthält Arbeiten aus Physik, physikalischer Chemie, Kosmophysik**

**Teil c**

**enthält Arbeiten aus Biochemie, Biophysik, Biologie, Virologie**

*[Handwritten signature]*

## Contents

## Contents of Number 1

## Original Communications

Electrochemical Syntheses, IV. Metal Carbonyl Compounds of the Iron Group Elements (In German)	J. GROBE and B. H. SCHNEIDER	1
Electrochemical Syntheses, V. Phosphane Substituted Metal Carbonyls of the Iron Group Elements (In German)	J. GROBE and B. H. SCHNEIDER	8
The Crystal Structures of BaSe <sub>2</sub> and BaSe <sub>3</sub>	F. HÜLLIGER and T. SIEGRIST	14
Acyl- and Alkylideneephosphines, XV. 2,2-Dimethyl-propyldyneephosphine, a Stable Compound with a Phosphorus Atom of Coordination Number 1 (In German)	G. BECKER, G. GRESSER, and W. UHL	16
IR, <sup>31</sup> P, <sup>55</sup> Mn and <sup>185,187</sup> Re NMR Spectroscopic Investigations of Some Carbonylmanganese and -rhenium Complexes (In German)	A. KEÇECİ and D. REHDER	20
On Oxidpnictides: Preparation and Crystal Structure of Ba <sub>2</sub> Mn <sub>2</sub> Sb <sub>2</sub> O and Ba <sub>2</sub> Mn <sub>2</sub> Bi <sub>2</sub> O (In German)	E. BRECHTEL, G. CORDIER, and H. SCHÄFER	27
Solutions of Lithium Tetrahydrido Aluminates in Ethers: a <sup>7</sup> Li and <sup>27</sup> Al NMR Study	H. NÖTH, R. RURLÄNDER, and P. WOLFGARDT	31
Penta-Coordinated Complexes of Bis(2,4-pentanedionato) Copper(II) with Some Oxygen Donor Organic Solvents	B. P. BARANWAL, G. K. PARASHAR, and R. C. MEHROTRA	42
The Reaction between Borontrifluoride and Sodium Diethylphosphite Synthesis and Reactions of Tris(diethylphosphitoborane) (In German)	H. BINDER and J. PALMTAG	45
Perfluoromethyl Element Ligands, XXIV; Organotin Compounds as Reagents, III. Cleavage Reactions of the Element-Element-Bond in Compounds of the Type R <sub>n</sub> E-ER <sub>m</sub> (R = CH <sub>3</sub> CF <sub>3</sub> ; E = P, As, S, Se, Te; n,m = 1, 2) (In German)	P. DEHNERT, J. GROBE, and DUC LE VAN	48
Preparation and Crystal Structure of SbCl <sub>3</sub> ·I <sub>2</sub> ·1,4-Dithiane (In German)	G. KIEL	55
Mössbauer Spectroscopic Studies of Monosubstituted Pentacyano Ferrate(II) Complexes, Na <sub>3</sub> [Fe(CN) <sub>5</sub> RNH <sub>2</sub> ] · <sub>n</sub> H <sub>2</sub> O	A. N. GARG and P. N. SHUKLA	59
Preparation and Spectroscopical Characterisation of Tetrakis(chloro-iodo)oxalato-osmates(IV) (In German)	W. PREETZ and H. SCHULZ	62
Preparation and Characterization of Monoorganobismuth(III) and Bismuth(III) Derivatives of Mercaptocarbonic Acids (In German)	U. PRAECKEL and F. HUBER	70
Collisional Activation Mass Spectra of C <sub>6</sub> H <sub>6</sub> M <sup>+</sup> and C <sub>7</sub> H <sub>7</sub> M <sup>+</sup> Fragment Ions from Transition Metal π-Complexes (In German)	J. MÜLLER and F. LÜDEMANN	74
Crystal and Molecular Structure of (Tetramethylcyclobutadiene)cis-1,2-dicyano-ethene-1,2-dithiolato-nickel(II) (In German)	R. HEMMER, H. A. BRUNE, and U. THEWALT	78
Some New 1-D Compounds with Metal-Halide Chain	D. LAYEK and G. C. PAPAVASSILIOU	83
Non Deprotonated Metal Complexes of the Bis-amide Tetradentate Ligand N,N'-(Dipicolyl)-1,8-naphthylenediamine	TH. F. ZAFIROPOULOS, S. P. PERLEPES, P. V. IOANNOU, J. M. TSANGARIS, and A. G. GALINOS	87
Metal-π Complexes of Benzene Derivatives, XIII, Bis(methylthio-η-benzene)chromium(0). Preparation and Function as a Bidentate Chelatina Ligand (In German)	H. BURDORF and CHR. ELSCHENBROICH	94
The Crystal and Molecular Structure of 2-{8-(2-Aminophenoxy)-3,6-dioxaoctyloxy}benzoic Acid · NaClO <sub>4</sub> , a Linear Polyether with Terminal Amino and Carboxyl Functions	K. K. CHACKO and W. SAENGER	102
Synthesis of 6-N-Aryl and Heteroaryl Benzthiazoles as Potential Anthelmintics	S. ABUZAR and S. SHARMA	108
New Furanoid Diterpenes from <i>Teucrium scorodarium</i> L.	G. Y. PAPANOV and P. Y. MALAKOV	112
On the Diastereoisomerism of Natural and Synthetic α-Bisabolols (In German)	E. FLASKAMP, G. NONNENMACHER, and O. ISAAC	114

Studies on Ferrocene Derivatives(VII). Synthesis of Some New Ferrocenyl Dibromides, Benzofuranes and Indoles A. M. EL-KHAWAGA, K. M. HASSAN, and A. A. KHALAF	119	On Cyanohalogenomercurates of Alkali Metals (In German) G. THIELE, K. BRODERSEN, and H. FROHRING 180
<i>Notes</i>		Metallomethanes, IV. Molecular and Crystal Structure of Bis(chloromercuri)methane $\text{CH}_2(\text{HgCl})_2$ (In German) K.-P. JENSEN, D. K. BREITINGER, and W. KRESS 188
Rhombohedrally Crystallizing Zinc Hexacyanometalates(III) $\text{Zn}_3[\text{M}(\text{CN})_6]_2$ (In German) H. SIEBERT and W. JENTSCH 123		Pt(II), Pd(II) and Cu(II) Complexes with the Ligand 4,4,5,5-Tetramethylimidazoline-1-oxyl-2-m-pyridyl-3-oxide (In German) K. E. SCHWARZHANS and A. STUEFER 195
An Unexpected Intramolecular Photoreaction of a Hexachlorooctahydromethanonaphthaline (In German) H. PARLAR and Y. INANICI 125		Transition Metal Sulfur Ylide Complexes, XI. Structure and Reactivity of $\eta^5$ -Thiacyclohexadienyl-1-oxide Complexes of Chromium (In German) L. WEBER, D. VEHRESCHILD-YZERMANN, C. KRÜGER, and G. WOLMERSHÄUSER 198
<b>Contents of Number 2</b>		Transition Metal Complexes of Diazenes, XVI. Structure and Mössbauer Data of (2,3-Diaza-norbornene) $\text{Fe}_3(\text{CO})_9$ (In German) H. KISCH, C. KRÜGER, and A. TRAUTWEIN 205
<i>Original Communications</i>		Electret Model for the Collective Behaviour of Biological Systems H. BILZ, H. BÜTTNER, and H. FRÖHLICH 208
Synthesis of Sodium-Chelates of Methylen-bis-iminodiphenylphosphorane] (In German) R. APPEL and K. WAID 127		The Metal Complexes of Heterocyclic $\beta$ -Diketones and their Derivatives, Part VIII. Synthesis, Structure, Proton NMR and Infrared Spectral Studies of the Complexes of Al(III), Fe(III), Co(III), Rh(III), In(III), and Zr(IV) with 1-Phenyl-3-methyl-4-trifluoroacetyl-pyrazolone-5 (HPMTFP) E. CH. OKAFOR 213
Synthesis of Symmetrical Diaminocarbodiphosphoranes $\text{R}_2\text{NPh}_2\text{P}=\text{C}=\text{PPh}_2\text{NR}_2$ (In German) R. APPEL and K. WAID 131		(Aminoethynyl)metallations, IX. Reactions of Yn-amines with Cyanoketenes (In German) G. HIMBERT and L. HENN 218
The Crystal Structure of Methyltriphenylphosphonium Hexachlorotitanate (In German) E. HEY and U. MÜLLER 135		Preparation of 1,3-Dimethyl-6-hydroxy-dihydro-thymine by Photochemical Addition of Water to 1,3-Dimethyl-thymine (In German) E. FAHR and P. FECHER 226
Preparation and Characterization of Tetrabutylammonium Tetraiodooxotechnetate(V), (TBA)[TeO <sub>4</sub> ] (In German) G. PETERS and W. PREETZ 138		Kinetic Studies of the Methanolysis Reaction of Chloromethylated Phenols (In German) G. STEIN, V. BÖHMER, W. LOTZ, and H. KÄMMERER 231
Reactions of Thallium(III) Carboxylates with Ketones (In German) M. VOLLMERHAUS and F. HUBER 141		Stabilization of a Host-Guest Type Complex by Bifurcated Hydrogen Bonds: 18-crown-6 · (2,4-Dinitrophenylhydrazine) R. HILGENFELD and W. SAENGER 242
Cyclic Diazastannylenes, X. The Crystal and Molecular Structure of a Molecule with a Distorted Cube-Shaped $\text{Sn}_4\text{N}_3\text{O}$ -Cage (In German) M. VEITH and O. RECKTENWALD 144		Activation of Steroid Systems to Alkylating Agents (In German) M. WILK and K. SCHMITT 248
On the Reaction of Aromatic Phosphane Derivatives with Electrons, I. (In German) W. KAIM 150		A New Route to 1H-Pyrido[1,2-a]quinazolines F. S. G. SOLIMAN, W. STADLBAUER, and TH. KAPPE 252
Diazaborolidyl - a Stable Substituent at Sulfur Nitrogen Compounds (In German) W. HAUBOLD, H. G. FEHLINGER, and G. FREY 157		
Structures and Vibrational Spectra of Tetramethylammonium $\alpha$ -Dodecatungstosilicate and Tetra-butylammonium $\beta$ -Dodecatungstosilicate (In German) J. FUCHS, A. THIELE, and R. PALM 161		
Synthesis and Structure of 1,2,3-Thiadiazol- and 1,2,3-Selenadiazol-Pentacarbonyl Complexes of the Elements Chromium and Tungsten (In German) V. BÄTZEL and R. BOESE 172		

Synthesis of Kaempferol-3-O-(3'',4''-di-O- <i>a</i> -L-rhamnopyranosyl)- $\beta$ -D-galactopyranoside and its Comparison with the Natural Ascaside Isolated from <i>Astragalus caucasicus</i>	S <sub>4</sub> N <sub>4</sub> and its Derivatives: Molecular and Crystal Structure of S <sub>6</sub> N <sub>4</sub> <sup>2+</sup> (FeCl <sub>4</sub> <sup>-</sup> ) <sub>2</sub> (In German)
I. RIESS-MAURER, H. WAGNER, and A. LIPTÁK	U. THEWALT and M. BURGER
Isosilychristin, a New Flavonolignan from <i>Silybum Marianum</i> L. Gaertn. (In German)	293
M. KALOGA	E. LINDNER and J. C. WUHRMANN
	297
<i>Notes</i>	
Contributions to the Chemistry of Phosphorus, 89.	Electrochemical Syntheses, VI. Electrochemical Substitution of VIB-Hexacarbonyls M(CO) <sub>6</sub> (M = Cr, Mo, W) (In German)
Cyclization of a 1,3-Dihalogen-1,2,3-triorganyl-triphosphane to the Corresponding Triorganyl-cyclotriphosphane (In German)	J. GROBE and H. ZIMMERMANN
M. BAUDLER and J. HELLMANN	301
Preparation of Antimony(V)tetrafluoridepentaffluorotellurate(VI), SbF <sub>4</sub> OTeF <sub>5</sub> and Antimony(V)trifluoride-bis[pentafluorotellurate(VI)], SbF <sub>3</sub> (OTeF <sub>5</sub> ) <sub>2</sub> (In German)	K. BÜSCHER, S. HEUER, and B. KREBS
O. LEITZKE and F. SLADKY	307
A New Preparative Method for Cesiumhydroxide (In German)	Opening of the B <sub>10</sub> H <sub>10</sub> <sup>2-</sup> Cage to Give B <sub>10</sub> H <sub>14</sub>
H. JACOBS and B. HARBRECHT	H. MONGEOT and H. R. ATCHEKZAI
Redox Properties of Platinum Uracil "Blues": A New Type of Paramagnetic Species	313
M. SEUL, H. NEUBACHER, and W. LOHMANN	( $\eta^3$ -Benzyl)( $\eta^4$ -cyclooctadiene)rhodium(I) Complexes (In German)
High Pressure Reactions, XIII. Synthesis of (—) Cannabidiol at High Pressure (In German)	H.-O. STÜHLER and J. PICKARDT
H.-J. KURTH, D. BIENIEK, and F. KORTE	315
Isolation of a New Natural Quinone, 2-Hydroxy-6-methoxy-3,5-dimethyl-1,4-benzoquinone, from the Potato Culture Solation of <i>Phoma wasabiae</i> Yokogi	Synthesis and Properties of Bi-, Tri- and Tetra-nuclear Transition Metal Complexes with the Organometallic Chelate Ligands [C <sub>5</sub> H <sub>5</sub> M{P(OMe) <sub>2</sub> O} <sub>2</sub> ] <sup>±</sup> (M = Ni, Pd) (In German)
O. SOGA and H. IWAMOTO	H. WERNER, T. NGO-KHAC, C. FRIEBEL, P. KÖHLER, and D. REINEN
Sulfonamidyls, 4. Ab Initio MO Calculations on Sulfonyl and Carbonyl Substituted Aminyl Radicals	322
H. TEENINGA, W. C. NIEUWPOORT, and J. B. F. N. ENGBERTS	<sup>125</sup> Te NMR Shifts and Te-P Coupling Constants of Phosphane Tellurides, Tellurophosphanes, and Tellurophosphane Complexes (In German)
	W.-W. DU MONT and H.-J. KROTH
Contents of Number 3	332
Original Communications	On the Reaction of [(CO) <sub>4</sub> FeC(O)NMe <sub>2</sub> ]-[C(NMe <sub>2</sub> ) <sub>3</sub> ] <sup>+</sup> with Some Diorganoboron Bromides (In German)
Interhalogen Cations: Preparation and Crystal Structures (143 K) of I <sub>3</sub> Cl <sub>2</sub> SbCl <sub>6</sub> , I <sub>3</sub> Cl <sub>2</sub> AlCl <sub>4</sub> and I <sub>3</sub> Br <sub>2</sub> SbCl <sub>6</sub> (In German)	W. PETZ
S. POHL and W. SAAK	335
Synthesis and Crystal Structure of Bis(N-methyl-hydroxylamido(1-)O,N)(N-methyl-N-oxo-dithiocarbamato-O,S)-oxo-molybdenum(VI) (In German)	Enehydrazines, XXX. Phenylous Enehydrazines without a Direct N,N-Bond (In German)
W. HOLZBACH, K. WIEGHARDT, and J. WEISS	W. SUCROW and W. TURNSCHEK
	339
Kinetics of Oxidation of Tryptophan by Sodium Hypochlorite	Thermolysis of 2,2-Dihydro-1,4,2-oxazaphosphol-4-enes, I. Dimerization of Bis(trifluoromethyl) Substituted Nitrile Ylides (In German)
	K. BURGER, H. GOTTH, K. EINHELLIG, and A. GIEREN
	345
Thermolysis of 2,2-Dihydro-1,4,2-oxazaphosphol-4-enes, II. A Simple Synthesis for Fluorine Substituted N-Vinylimidoyl Chlorides (In German)	Thermolysis of 2,2-Dihydro-1,4,2-oxazaphosphol-4-enes, II. A Simple Synthesis for Fluorine Substituted N-Vinylimidoyl Chlorides (In German)
K. BURGER, H. GOTTH, and E. BURGIS	K. BURGER, H. GOTTH, and E. BURGIS
	353
1,4-Cycloaddition of <i>p</i> -Benzoquinone; 1,4-Naphthoquinone and N-Phenylmaleimide to 9-Vinylidene-xanthene (or Thioxanthene) Derivatives	359

<b>S. B. AWAD, A. B. SAKLA, N. F. ABDUL-MALIK, and N. I. SAMAAN</b>		<b>362</b>
Reactions of Amino Acids on 2-Methylmercapto- hydantoin Derivatives. Synthesis of Imidazo- imidazoline and Imidazoquinazoline Deriva- tives		
<b>H. A. DABOUN, A. M. ABD-ELFATTAH, M. M. HUSSEIN, and A. F. A. SHALABY</b>		<b>366</b>
A Fundamental Study of Quantitative Desulfuriza- tion of Sulfur Containing Amino Acids by Raney Nickel and its Character		
<b>SH. OHMORI, K. TAKAHASHI, M. IKEDA, and T. UBUKA</b>		<b>370</b>
First Liquid Crystal Azulene Derivatives (In German)		
<b>K. PRAEFCKE and D. SCHMIDT</b>		<b>375</b>
Sesquiterpene Esters of Type B from <i>Euonymus</i> <i>europaeus</i> L. (In German)		
<b>A. RÖMER, H. THOMAS, B. KREUELS, and H. BUDZIKIEWICZ</b>		<b>379</b>
7H-Imidazo[1,2-a]- and -[1,5-a]azepine-7-ones (In German)		
<b>U. WOLF</b>		<b>383</b>
Electrochemical Properties of Pyridine and Di- hydropyridine Derivatives (In German)		
<b>G. ABOU-ELENEN, J. RIESER, N. ISMAIL, and K. WALLENFELS</b>		<b>386</b>
Kinetic Investigation on the Hydrogen Transfer from Dihydropyridines to Hydrazyls (In German)		
<b>G. ABOU-ELENEN, J. RIESER, N. ISMAIL, and K. WALLENFELS</b>		<b>391</b>
<b>Notes</b>		
A Method for the Preparation of Anhydrous Ruthenium(VIII) Oxide (In German)		
<b>R. LÖSSBERG and U. MÜLLER</b>		<b>395</b>
Photoproduction of Hydrogen from Water Catalysed by Metal Sulfur Chelates		
<b>R. BATTAGLIA, R. HENNING, and H. KISCH</b>		<b>396</b>
<sup>13</sup> C, <sup>1</sup> H Spin-Spin Coupling Constants, VIII.		
2-Methyl- and 3,5-Dimethyladamantane (In German)		
<b>R. AYDIN and H. GÜNTHER</b>		<b>398</b>
A Spin Trap Investigation of Azolyl Radicals		
<b>V. N. BABIN, V. V. GUMENYUK, S. P. SOLCOVNI- KOV, and YU. A. BELOUSOV</b>		<b>400</b>
Methoxymercuration-Demercuration of Pheromom- ones for Double Bond Position Determination (In German)		
<b>O. VOSTROWSKY and K. MICHAELIS</b>		<b>402</b>
<b>Contents of Number 4</b>		
<i>Original Communications</i>		
The Crystal Structure of Te <sub>6</sub> O <sub>11</sub> Cl <sub>2</sub> (In German)		
<b>W. ABRIEL</b>		<b>405</b>
On Bariumthioantimonate(III) Ba <sub>8</sub> Sb <sub>6</sub> S <sub>17</sub> (In German)		
<b>W. DÖRRSCHEIDT and H. SCHÄFER</b>		<b>410</b>
Zintl Phases with Binary Anions: BaGe <sub>2</sub> P <sub>2</sub> and BaGe <sub>2</sub> As <sub>2</sub> (In German)		
<b>B. EISENMANN and H. SCHÄFER</b>		<b>415</b>
UV Photoelectron Spectra of Some Bent Bis- ( $\eta^5$ -cyclopentadienyl)Niobium and Tantalum Com- plexes		
<b>H. VAN DAM, A. TERPSTRA, A. OSKAM, and J. H. TEUBEN</b>		<b>420</b>
Contributions to the Chemistry of Trifluoromethyl- seleninic Acid, Redox Processes in the F <sub>3</sub> CSe(O)OSCF <sub>n</sub> Cl <sub>3-n</sub> System (In German)		
<b>A. DARMADI, A. HAAS, and K. TEBBE</b>		<b>426</b>
Reactions of ( $\eta$ -C <sub>5</sub> H <sub>5</sub> )Co(CO) <sub>2</sub> and ( $\eta$ -EtMe <sub>4</sub> C <sub>5</sub> )Co(CO) <sub>2</sub> with Iodine and Cyanogen Halides, XCN (X = Br OR I)		
<b>M. MORÁN</b>		<b>431</b>
Reactions of Biscyclopentadienyl Vanadium with NO and XNO (X = Cl OR Br)		
<b>M. MORÁN and M. GAVOSO</b>		<b>434</b>
5-Chloro-5-phenyl-1-oxa-4,6-dithia-5-stannocane, a Diplanar Transition State for the Racemisation of the Boat-Chair Conformation in an Eight- Membered Ring (In German)		
<b>M. DRÄGER</b>		<b>437</b>
Polymeric Dimethyl- and Diphenylglyoximate Com- plexes of Cobalt and Iron with Pyrazine as a Bridging Ligand. The Crystal Structure of Bis- (dimethylglyoximate)pyrazine Cobalt(II) <sup>+</sup> (In German)		
<b>F. KUBEL and J. STRÄHLE</b>		<b>441</b>
Isolable Chloro[(thio)alkoxy]triorganylphos- phoniumchlorides as Intermediates of the Oxirane (Thiirane)-Halogenation with Dichlorophospho- ranes (In German)		
<b>R. APPEL and V. I. GLÄSEL</b>		<b>447</b>
Carbonylvanadium, -manganese and -molybdenum Complexes of the Ligands o-C <sub>6</sub> H <sub>4</sub> EPh <sub>2</sub> /E'Ph <sub>2</sub> (E, E' = P, As, Sb, Bi) and <i>cis</i> -Ph <sub>2</sub> PCH=CHPPh <sub>2</sub> (In German)		
<b>R. TALAY and D. REHDER</b>		<b>451</b>
On the Rare-Earth Phigochalcogenides LnAsSe		
<b>R. SCHMELCZER, D. SCHWARZENBACH, and F. HULLIGER</b>		<b>463</b>
Cyclic Boron Derivatives of Biurets		
<b>J. BIELAWSKI, K. NIEDENZU, A. WEBER, and W. WEBER</b>		<b>470</b>

Organometallic Lewis Acids, V. Reactions of Carbonyl- $\eta^5$ -cyclopentadienyl Molybdenum Tetrafluoroborates ( $\eta^5$ -C <sub>5</sub> H <sub>5</sub> )Mo(CO) <sub>2</sub> (L)FBF <sub>3</sub> (L = CO, PR <sub>3</sub> ) with Phosphanes and Alkenes (In German)	( <i>t</i> -BuP) <sub>2</sub> ( <i>t</i> -BuAs) (In German)
K. SÜNKEL, H. ERNST, and W. BECK	M. BAUDLER and S. KLAUTKE
474	527
Electrochemical Syntheses, VII. Electrochemical Substitution Reactions of M(CO) <sub>6-n</sub> (PR <sub>3</sub> ) <sub>n</sub> Complexes (M = Cr, Mo, W) (In German)	On Aluminium Sulfide: $\alpha$ -Al <sub>2</sub> S <sub>3</sub> and Al <sub>2</sub> S <sub>3</sub> (tetr.) (In German)
J. GROBE and H. ZIMMERMANN	H. HAEUSELER, A. CANSIZ, and H. D. LUTZ
482	532
A Novel Isomerization of an Electron-Rich Alkene E. L. WEINBERG, J. TH. BURTON, M. C. BAIRD, and M. HERBERHOLD	NMR Spectroscopic Studies on Chalcogen Compounds, II. <sup>125</sup> Te, <sup>77</sup> Se, <sup>19</sup> F and <sup>13</sup> C Chemical Shifts of CF <sub>3</sub> Substituted Selenium and Tellurium Compounds (In German)
485	535
Two-Dimensional (2D-J) NMR Spectroscopy for Analysis of Isomers and Heterocouplings R. BENN and W. RIEMER	W. GOMBLER
488	Structure and Vibrational Spectrum of the $\alpha$ -Undecatungstophosphate Na <sub>2</sub> [N(CH <sub>3</sub> ) <sub>4</sub> ] <sub>4</sub> HPW <sub>11</sub> O <sub>39</sub> · 7 H <sub>2</sub> O (In German)
The Structures of S <sub>4</sub> N <sup>6-</sup> , S <sub>3</sub> N <sub>2</sub> O <sub>2</sub> and S <sub>4</sub> N <sub>3</sub> <sup>6-</sup> R. GLEITER and R. BARTETZKO	J. FUCHS, A. THIELE, and R. PALM
492	544
The Fluctational Behaviour of the P <sub>7</sub> Trianion – A Molecular Orbital Study M. C. BÖHM and R. GLEITER	Sulfur-Nitrogen-Compounds, VIII. Synthesis and Characterization of Some Aromatic Sulfurdi-imines (In German)
498	G. BRANDS and A. GOLLOCH
Cyclisation of 1-Phenyl-4-carboxymethylmercapto-5-arylazo-hydantoins A. F. A. SHALABY, M. A. ABDEL AZIZ, and S. S. M. BOGHADIDI	551
501	Addition Compounds of Trimethylstibine Dihalogenides and Antimony(III) Halogenides (In German)
Photodimerisation of 6- <i>trans</i> -Styryl-4-methoxy-2-pyrone (= 5,6-Dehydrokawain) (In German) M. KALOGA and I. CHRISTIANSEN	J. WERNER, W. SCHWARZ, and A. SCHMIDT
505	(MePNMe) <sub>4</sub> · MeI and (MePNMe) <sub>4</sub> · 2 MeI, a Cyclo-tetra( $\lambda^3, \lambda^3, \lambda^3, \lambda^5$ -) and a Cyclotetra( $\lambda^3, \lambda^5, \lambda^3, \lambda^5$ -phosphazane) (In German)
Contributions to the Synthesis of Cystine Peptides Illustrated by the Total Synthesis of Human Insulin (In German) B. KAMBER	W. ZEISS, T. KUHN, D. LUX, W. SCHWARZ, and H. HESS
508	561
Notes	Separation of Calcium Isotopes with Cryptand Complexes (In German)
New Phospha(III)azenes (In German) O. J. SCHERER and H. CONRAD	K. G. HEUMANN and H.-P. SCHIEFER
515	566
Reaction of ( $\eta^3$ -Allyl)( $\eta^5$ -cyclopentadienyl) Palladium with 2,3-Bis(diphenylphosphino)-maleic Anhydride (In German) D. FENSKE and A. CHRISTIDIS	Chemistry of Polyfunctional Ligands, 64.
518	On Hydridoiridium(III) Complexes of N,N-Bis(diphenylphosphino)- <i>p</i> -tolylamine (In German)
Tl <sub>4</sub> Ge <sub>4</sub> Se <sub>10</sub> , a Thallium(I) Selenogermanate with the Adamantane-Like Anion [Ge <sub>4</sub> Se <sub>10</sub> ] <sup>4-</sup> (In German) G. EULENBERGER	J. ELLERMANN, L. MADER, and K. GEIBEL
521	571
Isolation of Dihydrokaempferol from <i>Silybum Marianum</i> L. Gaertn. (In German) M. KALOGA	Rhodium(I) Catalyzed Asymmetric Hydrogenation of $\alpha$ -Acetamido Cinnamic Acid with Monomeric and Polymeric Aminophosphines (In German)
524	U. NAGEL, H. MENZEL, P. W. LEDNOR, W. BECK, A. GUYOT, and M. BARTHOLIN
Contents of Number 5	578
Original Communications	Solvent Effects on the Carbon - 13 NMR Chemical Shifts and Rotational Barriers of N,N-Dimethylbenzamide – Solvent Enhanced $\pi$ Polarization C. W. FONG and H. G. GRANT
Contributions to the Chemistry of Phosphorus, 103. Tri- <i>tert</i> -butyl-diphosphansa-cyclopropane, M. NEUMANN-SPALLART and K. KALYANASUNDARAM	585
	On the One and Two-Electron Oxidations of Water-Soluble Zinc Porphyrins in Aqueous Media
	596
	Energy Turnover of a Reaction between Radical Cation and Radical Anion (In German)
	A. STANIENDA
	601
	Reactions of Mesoionic Five-Membered Heterocycles with <i>o</i> -Quinonoid Compounds, IV. Mono- and Tricyclic 1,3-Thiazolium-4-olates, 1,3-Dithiolylium-4-olates (In German)

W. FRIEDRICHSEN, W.-D. SCHRÖER, I. SCHWARZ, and A. BÖTTCHER	609	Perfluoromethyl-Element Ligands, XXV. Organotin Compounds as Reagents, IV: Cleavage Reactions of the Element-Element Bond in Complexes of the Type $M(CO)_5ER_2ER'_2$ and $M(CO)_5ER_2E'R'$ , Respectively, with Trimethylstannane ( $R, R' = CH_3; E = P, As; E' = S, Se, Te; M = Cr,$ $Mo$ ) (In German)
Reactions of Five-Membered Mesoionic Heterocycles with <i>o</i> -Quinonoid Compounds, V. 1,3-Oxazolium- 5-olates and 1,3-Thiazolium-5-olates (In German)		J. GROBE and D. LE VAN
W. FRIEDRICHSEN, I. SCHWARZ, B. EPE, and K.-F. HESSE	622	666
Cycloadditions with <i>o</i> -Benzoquinone-diimines, VI. Reactions of 1,3-Diarylbenzo[c]furans with <i>o</i> - Benzoquinone-diimines. Stable Chair and Boat Conformers in the 5,6,11,12-Tetrahydronaphthalen- [b,f][1,4]diazocin Series (In German)		Oligophosphine Ligands, III. Bis(3-diphenylphos- phinopropyl)phenylphosphinechloroiridium(I) and its Carbonyl and Hydride Derivatives (In German)
W. FRIEDRICHSEN, M. RÖHE, and T. DEBAERDE- MAEKER	632	E. ARPAC and L. DAHLENBURG
<i>Notes</i>		672
On the Crystal Structure of Mixed Phosphate/Sulfate Fluoroapatites (In German)		Coordination Complexes of Reduced Pyrazine and Alkyl Derivatives of Boron, Aluminum, Gallium, and Indium (In German)
M. C. APELLA and E. J. BARAN	644	W. KAIM
Preparation and Crystal Structure of $Na_3FeSe_3$ (In German)		677
P. MÜLLER and W. BRONGER	646	On the Mechanism of the Formation of Nitrosyl- vanadium Complexes from Hydroxylamine: Reversible, Intramolecular Conversion of Co- ordinated Nitric Oxide to a Hydroxylamido(1—) Ligand (In German)
The Crystal Structure of Potassium-bis(hexamethylenetetramine)-tris-(isothiocyanato)- cuprate(II)-dihydrate, $K[Cu(C_6H_{12}N_4)_2(NCS)_3] \cdot 2 H_2O$ , a Trigonal Bi- pyramidal Cupric Complex (In German)		K. WIEGHARDT and U. QUILITZSCH
J. PICKARDT	649	683
Temperature Dependent ESR Studies on Platinum Pyrimidine "Blues": Evidence for a Structural Instability?		$Tl_2Sn_2S_5$ , a Thallium(I) Thiostannate(IV) with Five- fold Coordinated Tin (In German)
M. SEUL, H. NEUBACHER, and W. LOHMANN	651	G. EULENBERGER
Could Hydrogen Peroxide Photolysis Occur in the Absence of Transition Metals?		687
ST. LUŇÁK and J. VEPŘEK-ŠIŠKA	654	Investigations on the Course of the Hydrolysis of Some Tris(alkoxy)boranes and the Identification of Intermediates (In German)
On the Hydration of N-Isomeric 5-Tetrazolecarb- aldehydes		K.-P. STEINFELDT, G. HELLER, and R. BAU- MERT
D. MODERHACK	656	691
Direct Photochemical <i>cis-trans</i> Isomerization with 185 nm Radiation: A Facile Preparation of <i>cis</i> - Di-tert-butylethylene		Lanthanide(III) Complexes of Oxamic Acid
W. ADAM and F. YANY	658	S. P. PERLEPES, TH. F. ZAFIROPOULOS, J. K. KOUINIS, and A. G. GALINOS
<b>Contents of Number 6</b>		697
<i>Original Communications</i>		$^{10}B$ , $^{11}B$ , $^{13}C$ NMR Studies of <i>clos</i> -Pentaalkyl-1,5- dicarbapentaboranes(5) (In German)
The Stabilisation of Tris(hydrazino)phosphane by Complex Formation (In German)		R. KÖSTER and B. WRACKMEYER
H. NÖTH and V. THORN	659	704
Nitrido Azido Complexes of Molybdenum(VI). Syn- thesis and Crystal Structure of $MoN(N_3)_3(NC_5H_5)$ (In German)		Organometalphosphine-Substituted Transition Metal Complexes, XXVII. Reactions of Penta- carbonylmanganese- and Pentacarbonylrhenium- bromide with Organoelement(IVb) Phosphines (In German)
E. SCHWEDA and J. STRÄHLE	662	H. SCHUMANN and H. NEUMANN
<i>Investigation on Autoxidation of Metallic Copper and Copper(I) Compounds by Different Methods</i> (In German)		708
L. HORNER and E. PLIEFK	713	
<i>Stereoisomerism of 5-Benzylidenetetramic Acids</i> (In German)		
H.-D. STACHEL and H. POSCHENRIEDER	721	
<i>Crystal Structure and the Radiation-Induced Free- Radical Chain Reaction of 2-Deoxy-<math>\beta</math>-D-erythro- pentopyranose in the Solid State</i>		
M. N. SCHUCHMANN, C. VON SONNTAG, YI-H. TSAY, and C. KRÜGER	726	

W. FRIEDRICHSEN, W.-D. SCHRÖER, I. SCHWARZ, and A. BÖTTCHER	609	Perfluoromethyl-Element Ligands, XXV. Organotin Compounds as Reagents, IV: Cleavage Reactions of the Element-Element Bond in Complexes of the Type $M(CO)_5ER_2ER'_2$ and $M(CO)_5ER_2E'R'$ , Respectively, with Trimethylstannane ( $R, R' = CH_3; E = P, As; E' = S, Se, Te; M = Cr,$ $Mo$ ) (In German)
Reactions of Five-Membered Mesoionic Heterocycles with <i>o</i> -Quinonoid Compounds, V. 1,3-Oxazolium- 5-olates and 1,3-Thiazolium-5-olates (In German)		J. GROBE and D. LE VAN
W. FRIEDRICHSEN, I. SCHWARZ, B. EPE, and K.-F. HESSE	622	666
Cycloadditions with <i>o</i> -Benzoquinone-diimines, VI. Reactions of 1,3-Diarylbenzo[c]furans with <i>o</i> - Benzoquinone-diimines. Stable Chair and Boat Conformers in the 5,6,11,12-Tetrahydronaphthalen- [b,f][1,4]diazocin Series (In German)		Oligophosphine Ligands, III. Bis(3-diphenylphos- phinopropyl)phenylphosphinechloroiridium(I) and its Carbonyl and Hydride Derivatives (In German)
W. FRIEDRICHSEN, M. RÖHE, and T. DEBAERDE- MAEKER	632	E. ARPAC and L. DAHLENBURG
<i>Notes</i>		672
On the Crystal Structure of Mixed Phosphate/Sulfate Fluoroapatites (In German)		Coordination Complexes of Reduced Pyrazine and Alkyl Derivatives of Boron, Aluminum, Gallium, and Indium (In German)
M. C. APELLA and E. J. BARAN	644	W. KAIM
Preparation and Crystal Structure of $Na_3FeSe_3$ (In German)		677
P. MÜLLER and W. BRONGER	646	On the Mechanism of the Formation of Nitrosyl- vanadium Complexes from Hydroxylamine: Reversible, Intramolecular Conversion of Co- ordinated Nitric Oxide to a Hydroxylamido(1—) Ligand (In German)
The Crystal Structure of Potassium-bis(hexamethylenetetramine)-tris-(isothiocyanato)- cuprate(II)-dihydrate, $K[Cu(C_6H_{12}N_4)_2(NCS)_3] \cdot 2 H_2O$ , a Trigonal Bi- pyramidal Cupric Complex (In German)		K. WIEGHARDT and U. QUILITZSCH
J. PICKARDT	649	683
Temperature Dependent ESR Studies on Platinum Pyrimidine "Blues": Evidence for a Structural Instability?		$Tl_2Sn_2S_5$ , a Thallium(I) Thiostannate(IV) with Five- fold Coordinated Tin (In German)
M. SEUL, H. NEUBACHER, and W. LOHMANN	651	G. EULENBERGER
Could Hydrogen Peroxide Photolysis Occur in the Absence of Transition Metals?		687
ST. LUŇÁK and J. VEPŘEK-ŠIŠKA	654	Investigations on the Course of the Hydrolysis of Some Tris(alkoxy)boranes and the Identification of Intermediates (In German)
On the Hydration of N-Isomeric 5-Tetrazolecarb- aldehydes		K.-P. STEINFELDT, G. HELLER, and R. BAU- MERT
D. MODERHACK	656	691
Direct Photochemical <i>cis-trans</i> Isomerization with 185 nm Radiation: A Facile Preparation of <i>cis</i> - Di-tert-butylethylene		Lanthanide(III) Complexes of Oxamic Acid
W. ADAM and F. YANY	658	S. P. PERLEPES, TH. F. ZAFIROPOULOS, J. K. KOUINIS, and A. G. GALINOS
<b>Contents of Number 6</b>		697
<i>Original Communications</i>		$^{10}B$ , $^{11}B$ , $^{13}C$ NMR Studies of <i>clos</i> -Pentaalkyl-1,5- dicarbapentaboranes(5) (In German)
The Stabilisation of Tris(hydrazino)phosphane by Complex Formation (In German)		R. KÖSTER and B. WRACKMEYER
H. NÖTH and V. THORN	659	704
Nitrido Azido Complexes of Molybdenum(VI). Syn- thesis and Crystal Structure of $MoN(N_3)_3(NC_5H_5)$ (In German)		Organometalphosphine-Substituted Transition Metal Complexes, XXVII. Reactions of Penta- carbonylmanganese- and Pentacarbonylrhenium- bromide with Organoelement(IVb) Phosphines (In German)
E. SCHWEDA and J. STRÄHLE	662	H. SCHUMANN and H. NEUMANN
<i>Investigation on Autoxidation of Metallic Copper and Copper(I) Compounds by Different Methods</i> (In German)		708
L. HORNER and E. PLIEFK	713	
<i>Stereoisomerism of 5-Benzylidenetetramic Acids</i> (In German)		
H.-D. STACHEL and H. POSCHENRIEDER	721	
<i>Crystal Structure and the Radiation-Induced Free- Radical Chain Reaction of 2-Deoxy-<math>\beta</math>-D-erythro- pentopyranose in the Solid State</i>		
M. N. SCHUCHMANN, C. VON SONNTAG, YI-H. TSAY, and C. KRÜGER	726	

Phosphate Production and Analysis in the Non-Enzymatic Activation of Amino Acids by ATP when Using Hydroxylamine as a Trapping Agent D. W. MULLINS (JR.) and J. C. LACEY (JR.)	732	SH. KATO, E. HATTORI, H. SATO, M. MIZUTA, and M. ISHIDA	783
Solvent Induced Circular Dichroism in Conformational Analysis: Bile Pigments H. LEHNER, C. KRAUSS, and H. SCHEER	735	Complexes of Divalent Transition Metals with Hydrazido Thiophosphoric Acid Esters (In German) U. ENGELHARDT, B. FRIEDRICH, and I. KIRNER	791
Benzoylation of 3-Substituted 4-Hydroxy-2-quinolones and 4-Hydroxycoumarines (In German) W. STADLBAUER and TH. KAPPE	739	Frontier Orbitals and 1,2-Hydrogen Shifts in Carbénium Ions (In German) G. FRENKING and H. SCHWARZ	797
Pseudobases from Quinolinium-Salts and Alcoxides (In German) W.-H. GÜNDL and H. BERENBOLD	745	Complexes of 1,2,4-Triazoles, Part XVI. Binuclear Complexes of Transition Metal(II)thiocyanates with 4-Ethyl-1,2,4-triazole G. VOS, J. G. HAASNOOT, and W. L. GROENEVELD	802
Selective Succinylation of Adenosine Catalyzed by 4-Morpholine-N,N'-dicyclohexylcarboxamidine C. SAUER and U. SCHWABE	750	Complexes of 1,2,4-Triazoles, Part XVII. The Crystal Structure of Tris- $\mu$ -(4-ethyl-1,2,4-triazole-N <sup>1</sup> ,N <sup>2</sup> )-(4-ethyl-1,2,4-triazole-N <sup>1</sup> )-aquo-bis[thiocyanato-N]-nickel(II)]hydrate, $Ni_2(C_4N_3H_7)_4(H_2O)(NCS)_4 \cdot xH_2O$ ( $x \approx 2.5$ ) G. VOS, A. J. DE KOK, and G. C. VERSCHOOR	809
Occurrence of <i>trans</i> -3-Hexenal in <i>Thea sinensis</i> Leaves A. HATANAKA and T. KAJIWARA	755	Bis(diazadien)metal(O) Complexes, III. Nickel(O)-bis(chelates) with Aliphatic N-Substituents (In German) M. SVOBODA, H. TOM DIECK, C. KRÜGER, and YI-HUNG TSAY	814
Studies on Wasp Venom, I. Low Molecular Weight Constituents of Venom Sac Extracts from <i>Paravespula vulgaris</i> (In German) H. KLEIN, W. FRANCKE, and W. A. KÖNIG	757	Bis(diazadiene)metal(O) Complexes, IV. Nickel(O)-bis(chelates) with Aromatic N-Substituents (In German) H. TOM DIECK, M. SVOBODA, and TH. GREISER	823
<i>Notes</i>		Rb <sub>4</sub> Au <sub>7</sub> Sn <sub>2</sub> , an Intermetallic Phase with Seven-atomic Gold-Clusters (In German) H.-D. SINNEN and H.-U. SCHUSTER	833
Solvent Effects on the IR Spectra of N-Methylacetamide J. MANZUR and G. GONZÁLEZ	763	About Compounds in Systems MeO:M <sub>2</sub> O <sub>3</sub> . V. New Metastable Compounds: $BaSr_2Y_6O_{12}$ , $BaSr_2Er_6O_{12}$ and $BaSr_2Tm_6O_{12}$ (In German) A.-R. SCHULZE and HK. MÜLLER-BUSCHBAUM	837
The X-ray Structure of gem-N <sub>3</sub> P <sub>3</sub> Cl <sub>4</sub> (NPPPh <sub>3</sub> ) <sub>2</sub> -Conformation of the NPPPh <sub>3</sub> Groups M. KRISHNAIAH, L. RAMAMURTHY, P. RAMABRAHMAM, and H. MANOHAR	765	Electrochemical Behavior of the Nitrophenols and Their Reduction Products at Graphite Electrodes (In German) E. THEODORIDOU and D. JANNAKOUDAKIS	840
Unusual Reaction of ( $\sigma$ -Allyl)manganesepentacarbonyl with Bis(diphenylphosphino)-N-methyl Maleic Anhydride (In German) D. FLENSKE, K. BRANDT, and P. STOCK	768	Photochemical Reactions of Bromoanthracenes with N,N-Dimethylaniline in Solution J. FULARA and T. LATOWSKI	846
Silyl-Assisted Ether Cleavage in Radical Cations of Hydroxylamine Derivatives (In German) B. CIOMMER, H. SCHWARZ, A. MAAROUFI, M. T. REETZ, and K. LEVSEN	771	Azulene-Naphthalene Rearrangement, Thermolysis of [4,7- <sup>13</sup> C <sub>2</sub> ] Azulene (In German) K.-P. ZELLER and C. WENTRUP	852
<b>Contents of Number 7</b>		Preparation and Spectroscopic Characterisation of [4,7- <sup>13</sup> C <sub>2</sub> ] Azulene (In German) K.-P. ZELLER and ST. BERGER	858
<i>Original Communications</i>		On the McLafferty Rearrangement of Ionized Phenyl Pyridyl Alkanones (In German) B. RICHTER and H. SCHWARZ	865
N-Chloro Alkaneammonium Hexachloroantimonates(V). Spectra and Structure (In German) N. THIEL, W. SCHWARZ, and A. SCHMIDT	775		
Transition Metal Carbene Complexes, CXIX. Carbonyl[ethoxy(triphenylsilyl)carbene](dinitrosyl)iron (In German) E. O. FISCHER and P. STADLER	781		
Preparation and Some Reactions of Phenylmercury Thio- and Dithiocarboxylates			

On the Chemistry of Ingenol, I. Ingenol and Some of its Derivatives (In German)	Dialkylallenylidene Complexes with Pentacarbonyl Fragments of VIb Metals (In German)
H. J. OFFERKUCH, W. ADOLF, B. SORG, S. KUSUMOTO, and E. HECKER 878	H. BERKE, P. HÄRTER, G. HUTTNER, and L. ZSOLNAI 929
In the Search for New Anticancer Drugs, I. Antitumor Activity of Various Nitroxyl- and Aziridine-Containing Phosphorus Compounds	Substitution Reactions of Tetracarbonyl(dihydro)-iron with Trimethylphosphite (In German)
M. KONIECZNY, G. SOSNOVSKY, and P. GUTIERREZ 888	H. BERKE, G. HUTTNER, and L. ZSOLNAI 938
<i>Notes</i>	
Oxogallates of Alkaline Earth Metals, IX. The Structure of $\beta$ -SrGa <sub>2</sub> O <sub>4</sub> (In German)	Preparation and Characterization of Triphenyllead Derivatives of Some Amino Acids
A.-R. SCHULZE and H.K. MÜLLER-BUSCHBAUM 892	(In German)
Isolation of the Geminal Bis(amido) Derivative, N <sub>4</sub> P <sub>4</sub> (NH <sub>2</sub> ) <sub>2</sub> Cl <sub>6</sub> , from the Reaction of N <sub>4</sub> P <sub>4</sub> Cl <sub>8</sub> with Ammonia	G. ROGE and F. HUBER 945
P. RAMABRAHMAM, S. S. KRISHNAMURTHY, and M. Woods 894	Stability Constants of Metal Ion Complexes of Cyclopentadienyltris(diethylphosphito-P)-cobaltate(1-), [(C <sub>5</sub> H <sub>5</sub> )Co{P(O)(OC <sub>2</sub> H <sub>5</sub> ) <sub>2</sub> } <sub>3</sub> ] <sup>-</sup> , an Oxygen Tripod Ligand
The Structure of a 2:1 Host Guest Complex between <i>p</i> -Nitroaniline and 18-Crown-6	G. ANDERECK and W. KLÄUI 949
G. WEBER 896	The Crystal and Molecular Structure of the 1:2 5,10-Dihydro-5,10-diethylphenazine-(E <sub>2</sub> P)-2,2'-(2,5-Cyclohexadiene-1,4-diyldene)bispropanedinitrile (TCNQ) Complex
Reaction between <i>cis</i> -Crotonic Acid Derivatives and Cyclopentadiene in the Heterogeneous Phase (In German)	K. DIETZ, H. ENDRES, H. J. KELLER, and W. MORONI 952
H. PARLAR, R. BAUMANN, and F. KORTE 898	The Structure of the Cyclopentathiazenium Cation (S <sub>2</sub> N <sub>5</sub> <sup>+</sup> ) - a MNDO Investigation
<b>Contents of Number 8</b>	
<i>Original Communications</i>	
N-Bromo-N-chlorosulfonamides. Preparation and Reactions with Phenylmetallics (In German)	R. GLEITER and R. BARTETZKO 956
ST. MOHR, J. JANDER †, and H. P. LATSCHE 901	<i>cis</i> -Bis(2-methoxyphenyl)bis(triphenylphosphane)-platinum(II) Synthesis, Crystal and Molecular Structure and Thermal Stability (In German)
NMR Studies on Organoelement(IVb)-phosphines, VII. <sup>119</sup> Sn NMR Spectroscopic Investigations on Trimethylstannylphosphine Substituted Compounds of the Pseudonickelcarbonyl Series (In German)	T. DEBAERDEMAEKER, H.-P. KLEIN, M. WIEGE, and H. A. BRUNE 958
M. MEISSNER, H.-J. KROTH, K.-H. KÖHRICHT, and H. SCHUMANN 904	Identification of Protected Deoxyribonucleotides by Field Desorption Mass Spectrometry in Fractions from High Performance Liquid Chromatography †
A New Form of Al(H <sub>2</sub> PO <sub>4</sub> ) <sub>3</sub> with Three-Dimensional Al-O-P Crosslinking (In German)	H. M. SCHIEBEL and H.-R. SCHULTE 967
D. BRODALLA, R. KNIEP, and D. MOOTZ 907	The Dynamic Behaviour of the 1-Methyl-1-benzothiepinium Ring System (In German)
Carbonic Ester Phosphides - Synthesis and Chemical Behaviour (In German)	H. HOFMANN and F. DICKERT 974
R. THAMM and E. FLUCK 910	Conformational Studies of R-(+)-2-Alkylidene- and R-(—)-2-Benzylidene-5-methylcyclohexanones
Structure and Phase Transition Investigations on $\beta$ -Li <sub>2</sub> ZnGe (In German)	D. K. ANAND, M. K. HARGREAVES, and M. A. KHAN 978
H.-O. CULLMANN, H.-W. HINTERKEUSER, and H.-U. SCHUSTER 917	Corrosion Inhibitors 26. The Structure of the Protecting Coating Formed During the Corrosion of Copper (Oxygen, NaCl, pH 4.1, 22 °C) in the Presence of 2-Aminopyrimidine (In German)
Crystal and Molecular Structures of Benzoato-pyridine-iodine(I) and Phthalato-bis(pyridine-iodine(I)) (In German)	L. HORNER and E. PLIEFKE 989
H. HARTL and M. HEDRICH 922	The Configuration of Isomeres of Methyl 4-O-Acetyl-2,3-O-(1-phenylethylidene)- $\alpha$ -L-rhamnopyranoside (In German)
	H. LOTTER and A. LIPTÁK 997
	Conformations of Chlorophylls a and a' and their Magnesium-Free Derivatives as Revealed by Circular Dichroism and Proton Magnetic Resonance
	P. H. HYNNINEN and G. SIEVERS 1000

Mechanism of the Allomerization of Chlorophyll: Inhibition of the Allomerization by Carotenoid Pigments		Detection of Se <sub>6</sub> , Se <sub>7</sub> and Se <sub>8</sub> in Selenium Solutions by High-Pressure Liquid Chromatography (In German)	
P. H. HYNNINEN	1010	R. STEUDEL and E.-M. STRAUSS	1085
Nuclear Magnetic Resonance of 1,2,3-Selenadiazoles (In German)		On the Inhibition Effect of Surfactants on the Polarographic Reduction of Cd <sup>2+</sup> , Zn <sup>2+</sup> and Co <sup>2+</sup> Ions in Aqueous Methanolic and Methanolic Solutions (In German)	
H. MEIER, J. ZOUNTSAS, and O. ZIMMER	1017	J. MARKOPOULOS and D. JANNAKOUDAKIS	1089
On the Stereochemistry of the Bisaboloids from <i>Matricaria chamomilla</i> L. (In German)		Sulfur(VI)-oxide-chloride-imides and Sulfur(VI)- oxide-fluoride-imides (In German)	
E. FLASKAMP, G. NONNENMACHER, G. ZIMMER- MANN, and O. ISAAC	1023	R. MEWS, P. KRICKE, and I. STAHL	1093
Investigations of Quaternary Pyridinium Salts, XIV. Dihydropyridyl-oxime-ethers (In German)		New Compounds with the Ca <sub>9</sub> Mn <sub>4</sub> Bi <sub>9</sub> Structure: Ca <sub>9</sub> Cd <sub>4</sub> Bi <sub>9</sub> , Sr <sub>9</sub> Cd <sub>4</sub> Bi <sub>9</sub> , and Ca <sub>9</sub> Zn <sub>4</sub> Sb <sub>9</sub> (In German)	
W.-H. GÜNDL	1031	E. BRECHTEL, G. CORDIER, and H. SCHÄFER	1099
Phenazines from Pseudomonads (In German)		Anhydrides and Thioanhydrides of <i>tert</i> -Butyl- stibinous- and Stibonous Acids (In German)	
A. RÖMER, H. SCHOLL, H. BUDZIKIEWICZ, H. KORTH, and G. PULVERER	1037	H. J. BREUNIG and H. KISCHKEL	1105
Notes		Coordination Chemistry of Reduced N-Heterocycles. Complexes of Pyrazine Anion Radical with Phenyl Metal Cations +MPh of Beryllium, Magnesium and Zinc (In German)	
The Reaction of Dithiocarboxylic Acids with Imines		W. KAIM	1110
M. ISHIDA, SH. KATO, and M. MIZUTA	1047	Phosphine Substituted Chelate Ligands, II. Thio- carbamoylphosphine Sulfide and Oxide Complexes of Manganese and Rhenium (In German)	
Preparation and Crystal Structure of Di-gold(III)- bis(selenite) Diselenite, Au <sub>2</sub> (SeO <sub>3</sub> ) <sub>2</sub> (Se <sub>2</sub> O <sub>5</sub> ) (In German)		U. KUNZE and A. ANTONIADIS	1117
P. G. JONES, E. SCHWARZMANN, G. M. SHELDRICK, and H. TIMPE	1050	cis-Dichloro-(1,5-bis diphenylphosphinanopentane)- platinum(II). Synthesis, Crystal and Molecular Structure (In German)	
Contents of Number 9		H.-P. KLEIN, U. THEWALT, H. ZETTLMEISSL, and H. A. BRUNE	1125
Original Communications		Synthesis and Properties of <i>tert</i> -Butyliminovanadium(V) Compounds 'C <sub>4</sub> H <sub>9</sub> N = VX <sub>3</sub> (X = Cl, RCOO) (In German)	
Synthesis and Molecular Structure of the Trinuclear Cluster Compound ( $\eta^5$ -C <sub>5</sub> Me <sub>5</sub> )IrFe <sub>2</sub> (CO) <sub>9</sub> (In German)		F. PREUSS and W. TOWAE	1130
E. GUGGOLZ, M. L. ZIEGLER, W. KALCHER, J. PLANK, D. RIEDEL, and W. A. HERRMANN	1053	Electron Spin Resonance Studies on Confor- mational Changes of the Sarcoplasmic Reticulum Ca <sup>2+</sup> -ATPase Induced by Synergistic Action of Calcium and ATP	
Photochemical Reactions of Re <sub>2</sub> (CO) <sub>10</sub> in the Pre- sence of Cyclooctatriene and 1,3-Butadiene (In German)		P. LAGNER, J. SUKO, CH. PUNZENGRUBER, and R. PRAGER	1136
E. GUGGOLZ, F. OBERDORFER, and M. L. ZIEGLER	1060	On the Structure of Tris-[norbornyl-2]methanol (In German)	
Preparation and Characterisation of Cyclotri(sila- selane) (H <sub>2</sub> Si-Se) <sub>3</sub> (In German)		K. ROTH	1144
A. HAAS and R. HITZE	1069	Condensation of 3-Aryl-2,4-dicarboethoxy-5-hy- droxy-5-methylcyclohexanones with <i>o</i> -Phenylene- diamine, Thiourea, $\alpha,\beta$ -Unsaturated Ketones and Hydrazines	
Synthesis of 2-Amino-1,3,2λ <sup>3</sup> (λ <sup>5</sup> )-dioxaphospholanes (In German)		M.A. METWALLY, E.-S. AFSAH, and F.A. AMER	1147
W. STORZER, D. SCHOMBURG, and G.-V. RÖSCHEN- THALER	1071	Polymer Anchored Sulfonylazide for Deformylating Diazo Group Transfer and the Synthesis of Diazo-cyclopolymers (In German)	
Acyl- and Alkylidenearsines, V. (Dimethylamino- methylidene)-phenylarsine, an Acyclic Alkyli- denearsine (In German)		H. DÜRR, G. HAUCK, W. BRÜCK, and H. KOBER	1149
G. BECKER, A. MÜNCH, and H.-J. WESSELY	1080		

Alkaloids from <i>Catharanthus roseus</i> Tissue Cultures, II (In German) W. KOHL, B. WITTE, and G. HÖFLE	1153
Isolation and Structure Investigations on the Ribonuclease T <sub>2</sub> from <i>Aspergillus oryzae</i> , I. (In German) A. KLEMER, H.-M. KÜNNEMEYER, and H. MATERN	1163
Taifine, a New Alkaloid from <i>Ruta chalepensis</i> L. B. A. H. EL-TAWIL, F. K. A. EL-BEIH, H. BUDZI- KIEWICZ and N. MOHR	1169
Confirmation of the Structure of an Extractive from <i>Helichrysum graveolens</i> as 3,5-Dihydroxy- 6,7,8-trimethoxyflavone (In German) R. HÄNSEL, F. KHALIEFI, and A. PELTER	1171
The 2,2,2-Trichloro- <i>tert</i> -butoxycarbonyl Group, an N-Protecting Group in Oligonucleotide Synthesis (In German) R. G. K. SCHNEIDERWIND and I. UGI	1173
Synthesis of Khaplofoline, Dihydroflindersine and Related Alkaloids (In German) J. REISCH, M. MÜLLER, and I. MESTER	1176
New Anthraquinones and Anthraquinone Glyco- sides from <i>Morinda lucida</i> G. P. DEMAGOS, W. BALTUS, and G. HÖFLE	1180
 <i>Notes</i>	
Reactions of N-Bromo-N-sodiocarbamidates with Metalorganic Compounds. Syntheses of N-Bromo- N-metallo Compounds of Tin and Lead (In German) E. WAGNER, V. MÜNCH, J. JANDER, and H. P. LATSCHA	1185
Crystal and Molecular Structure of 4-Oxo-6-iodo- quinolinium(OIQn)-2,2'-(2,5-cyclohexadiene-1,4- diylidene)-bispropanedinitrile (TCNQ) H. J. KELLER, W. STEIGER, and M. WERNER	1187
Investigation on the Symmetric Phosphate Stretch- ing Vibration in Mixed Calcium-Strontium- Apatites (In German) M. C. APILLA, S. B. ETCHEVERRY, and E. J. BA- RAN	1190
ABX-Compounds with a Modified Ni <sub>2</sub> In Structure (In German) CH. TOMUSCHAT, and H.-U. SCHUSTER	1193
Magnetic Properties of AB <sub>2</sub> X <sub>2</sub> Compounds with the CaAl <sub>2</sub> Si <sub>2</sub> Structure (In German) G. ZWIENER, H. NEUMANN, and H.-U. SCHUSTER	1195
η <sup>1</sup> ,η <sup>3</sup> -Octadienediyl-palladium Complexes A. DÖHRING, P. W. JOLLY, R. MYNOTT, K.-P. SCHICK, and G. WILKE	1198
The Tetrabutylammonium Salt of 2-Thioxo-1,3- dithiol-4,5-dithiolate as a Starting Material for Preparation of Organometallic Conductors G. C. PAPAVASSILIOU	1200
Solid Phase Peptide Synthesis by Four Component Condensation: Peptide Formation on an Iso- cyano Polymer Support R. ARSHADY and I. UGI	1202
 Contents of Number 10	
<i>Original Communications</i>	
A Triarsanato(1,3) Chelate of Titanium (In German) H. KÖPF and U. GÖRGES	1205
Molecular and Crystal Structure of 1,1'-Dimethyl- silylene Titanocene Dichloride, (CH <sub>3</sub> ) <sub>2</sub> Si(C <sub>5</sub> H <sub>4</sub> ) <sub>2</sub> TiCl <sub>2</sub> (In German) H. KÖPF and J. PICKARDT	1208
Instability of NiTiO <sub>3</sub> in an Oxygen-Potential Gra- dient (In German) W. LAQUA	1211
Chlorostannlenes and Chlorogermylenes Stabilised and Substituted by Organoarsanes (In German) W.-W. DU MONT and G. RUDOLPH	1215
π-Olefin Iridium Complexes, VII. Complex Forma- tion of Iridium with Fulvenes (In German) J. MÜLLER, R. STOCK, and J. PICKARDT	1219
Metal Complexes with Hexamethylenetetramine as Ligand: Crystal Structure of the Cadmium Iodide Adduct 3CdI <sub>2</sub> · 2C <sub>6</sub> H <sub>12</sub> N <sub>4</sub> · 4H <sub>2</sub> O (In German) J. PICKARDT	1225
Distribution and Valence of the Cations in Spinel Systems with Iron and Vanadium, III. X-ray Investigation and Mössbauer Spectra of the Spinel System ZnFeVO <sub>4</sub> -Fe <sub>3</sub> O <sub>4</sub> (In German) E. RIEDEL, H. ANIK, and T. DÜTZMANN	1228
A Simple and High Yielding Synthesis for Bis- (trimethylsilyl)- and Bis(trimethylgermyl)mer- cury (In German) L. RÖSCH, G. ALTNAU, E. HAHN, and H. HAVE- MANN	1234
Transition Metal Benzyne Complexes. Fluxional Behaviour of [Ta(C <sub>6</sub> H <sub>5</sub> ) <sub>4</sub> (C <sub>6</sub> H <sub>4</sub> ) <sub>2</sub> (Li · OC <sub>4</sub> H <sub>10</sub> ) <sub>3</sub> ] (In German) B. SARREY and R. SCHAFFERNICHT	1238
Organometallic Compounds of the Lanthanides, XII. Dicyclopentadienyl(diorganophosphine) Deriva- tives of Terbium, Holmium, Erbium, Thulium, Ytterbium, and Lutetium (In German) H. SCHUMANN and G.-M. FRISCH	1244

Reactions of 3,4-Dichloro-1,2,5-thiadiazol (In German)		Studies on Vitamin B <sub>12</sub> and Related Compounds, 54.
H. W. ROESKY and E. WEHNER	1247	Synthesis of 2-Hydroxyethylcobalamin from Ethylene and Vitamin B <sub>12</sub> r under "Oxidizing-Reducing" Conditions
The <sup>51</sup> V NMR Spectra of Some Oxo-, Peroxo-, Nitrosyl- and Hydroxylamido vanadium Complexes		G. N. SCHRAUZER, J. W. GRATE, A. MAIHUB, and H. BI XU
D. REHDER and K. WIEGHARDT	1251	1338
High Pressure Polymorphism of BaI <sub>2</sub> (In German)		<i>Notes</i>
H. P. BECK	1255	Nonenzymatic Catalysis by Metal Ions and Phosphoric Acid Esters of Hydroxamic Acid Formation. Erratum: Transacylation <i>via</i> Acyl Phosphate not Excluded
Preparation and Characterization of Selenophosgene (In German)		O. SAYGIN and P. DECKER
A. DARMADI, A. HAAS, H. WILLNER, and H. SCHNÖCKEL	1261	1340
Organoboration of Alkynylstannanes, XI. Synthesis of Substituted Alkenes from 9-Borabicyclo[3.3.1]-nonane Derivatives (In German)		Ba <sub>5</sub> Sb <sub>4</sub> – The First Alkaline Earth Pnictide with the Gd <sub>5</sub> Si <sub>4</sub> Structure Type (In German)
CHR. BIHLMAYER and B. WRACKMEYER	1265	E. BRECHTEL, G. CORDIER, and H. SCHÄFER
New Stable Manganese(III) Chelates of Some Pyridine Carboxylic Acids		1341
S. GHOSH, P. K. RAY, T. K. BANDYOPADHYAY, and K. DEB	1270	Difluorooxosulfurimidato-metallates, [Ag(NSOF <sub>2</sub> ) <sub>2</sub> ] <sup>-</sup> and [M(NSOF <sub>2</sub> ) <sub>4</sub> ] <sup>2-</sup> , (M = Cu, Zn, Mn) (In German)
4,5-Dicyano-1,3,2-λ <sup>3</sup> -diazaphospholate – an Anionic 1,3,2-Diazaphosphole, Stable as a Monomer (In German)		R. EISENBARTH and W. SUNDERMEYER
A. SCHMIDPETER and K. KARAGHIOSOFF	1273	1343
Structure and Reactivity of Carbonylcyclopenta-dienylallenylidene Complexes (In German)		Solid-Phase Synthesis of Peptides <i>via</i> α,β-Unsaturated Amino Acids. Incorporation of the Amide Group in <i>endo</i> -Positions
H. BERKE, G. HUTTNER, and J. v. SEYERL	1277	K. NODA and E. GROSS
Non-Statistical Label Distribution in Biosynthetic <sup>13</sup> C Enriched Amino Acids		1345
E. BENGSCHE, J.-PH. GRIVET, and H.-R. SCHULTEN	1289	 Contents of Number 11
Structure and Formation of the Coloured Simon-Awe Complex (In German)		 <i>Original Communications</i>
W. WIEGREBE and M. VILBIG	1297	Preparation of Triorgano- and Dialkylamino-Substituted Fluorophosphonium Salts (In German)
Lanthanide Induced Shifts in the <sup>1</sup> H and <sup>13</sup> C Nuclear Magnetic Resonance Spectroscopy for Structure Elucidations of Thiadiazole Oxides (In German)		R. BARTSCH, O. STELZER, and R. SCHMUTZLER
U. PLÜCKEN and H. MEIER	1305	1349
Eleven Stable C <sub>5</sub> H <sub>9</sub> <sup>+</sup> Cations in the Gas Phase. On the Dissociative Ionization of 31 Isomeric C <sub>5</sub> H <sub>9</sub> Br Compounds (In German)		Rearrangement Reactions of Lithiated Silylhydroxylamines with Fluorosilanes (In German)
W. FRANKE, H. SCHWARZ, and CHR. WESDEMIO-TIS	1315	D. BENTMANN and U. KLINGEBIEL
Intradiol Aromatic Ring Cleavage in a Dioxygenase Model System		1356
D. G. BROWN and W. J. HUGHES	1324	(MeSn) <sub>4</sub> Se <sub>6</sub> , Geometry and Vibrational Modes of an Adamantane Framework Formed by Tin-Selenium Bonds (In German)
Radical-Induced Dephosphorylation of Fructose Phosphates in Aqueous Solution		A. BLECHER, M. DRÄGER, and B. MATHIASCH
H. ZEGOTA and C. von SONNTAG	1331	1361
		Trigonal Prismatic or Octahedral Surrounding in Sheet Oxides?
		C. DELMAS, J.-J. BRACONNIER, C. FOUASSIER, and P. HAGENMULLER
		1368
		The Reduction of CBr <sub>2</sub> F <sub>2</sub> by Lead – a Novel Pathway to Difluorocarbene (In German)
		H. P. FRITZ and W. KORNKRUMPF
		1375
		The Kinetics and the Mechanism of the Thermal Reaction between Sulfurtetrafluoride and Fluorine (In German)
		A. C. GONZALEZ and H. J. SCHUMACHER
		1381

Crystal Structure and Spectroscopic Investigations of $\text{H}_2\text{C}(\text{CS}-\text{NH}_2)_2$ : An Example for an Helix Structure (In German)		
H. HLAWATSCHEK, G. KIEL, and G. GATTOW	1386	
Synthesis of 1-Aminoalkane Phosphonic Acids via Benzhydrylic Schiff Bases (In German)		
K. ISSLEIB, K.-P. DÖPFER, and A. BALSUWEIT	1392	
$\text{Na}_6[\text{Au}_2\text{O}_6]$ – a “Soro-Aurate” (In German)		
H. KLASSEN und R. HOPPE	1395	
Thio-hydroxo Anions of Germanium: Preparation, Structure and Properties of $\text{Na}_2\text{GeS}_2(\text{OH})_2 \cdot 5\text{H}_2\text{O}$ (In German)		
B. KREBS and H.-J. WALLTAB	1400	
On the Reactions of $\text{CF}_3\text{SF}_4\text{Cl}$ , $(\text{CF}_3)_2\text{SF}_2$ , $\text{SF}_4$ , and $\text{OSCl}_2$ with Trimethylsilyl Cyanide		
R. C. KUMAR and J. M. SHREEVE	1407	
Reactions of Metal and Metalloid Compounds with Polyfunctional Molecules, XXXIV. Synthesis of Sulfinamidoboranes (In German)		
A. MELLER, W. MARINGGELE, and M. ARM-BRECHT	1411	
The Crystal Structure of Solvated Molybdenum Oxide Tetrachloride		
M. MERCER, K. W. MUIR, and D. W. A. SHARP	1416	
Ternary Intercalation Compound of Graphite with Aluminium Fluoride and Fluorine (In German)		
T. NAKAJIMA, M. KAWAGUCHI, and N. WATANABE	1419	
Stabilisation of Ligands by Complex Formation: $\text{P},\text{P}',\text{P}''$ -Triaminocyclotriphosphazane and an Adamantane-Analogous Tetraphosphorus Hexa-imide (In German)		
H. NÖTH and V. THORN	1424	
Thiohalides of Germanium: Preparation and Structures of $\text{Ge}_4\text{S}_6\text{Br}_4$ and $\text{Ge}_4\text{S}_6\text{I}_4$ (In German)		
S. POHL, U. SEYER, and B. KREBS	1432	
Synthesis, Crystal Structure and Reaction Kinetic of Bis(dimethylamino)tetrasulfurtetranitride (In German)		
H. W. ROESKY, C. PELZ, A. GIEREN, and E. HÄDICKE	1437	
Synthesis and Properties of Alkoxi and Aryloxi Substituted Trithiadiborolanes (In German)		
M. SCHMIDT and E. SAMETSCHER	1444	
Synthesis of Sugars and Sugar-Like Products by UV Irradiation of Formaldehyde Absorbed on Zeolites (In German)		
F. SEEL, W. SCHAUM, and G. SIMON	1451	
Reactions of Some Ammonium Fluorometalates with $\text{XeF}_2$		
J. SLIVNIK, B. DRUŽINA, and B. ŽEMVA	1457	
Quantitative Synthesis of $(\text{C}_6\text{H}_5)_2\text{AsF}_2^+\text{AsF}_6^-$ and $(\text{C}_6\text{H}_5)_2\text{AsF}_3$ via Interaction of Benzene with Arsenic Pentafluoride		
F. L. TANZELLA and N. BARTLETT	1461	
Cyclodiaz-a- $\lambda^6$ -thianes (In German)		
F.-M. TESKY, R. MEWS, and B. KREBS	1465	
Synthesis of Some Silazane Frameworks (In German)		
U. WANNAGAT, TH. BLUMENTHAL, G. EISELE, A. KÖNIG, and R. SCHÄCHTER	1479	
<b>Contents of Number 12</b>		
<i>Original Communications</i>		
Preparation and Properties of, and Reactions with, Metal-Containing Heterocycles, XXIII. Investigations on $\text{P}=\text{S}$ -Heteroanalogous Cyclotrimerization of Alkynes with Nitriles and Iso-cyanides, Respectively (In German)		
E. LINDNER, C.-P. KRIEG, S. HOEHNE, and A. RAU	1487	
Cage Compounds in the System $\text{P}_4\text{S}_3-\text{As}_4\text{S}_3$ (In German)		
R. BLACHNIK, A. HOPPE, U. RABE, and U. WICKEL	1493	
$\text{Tl}_6\text{X}_4\text{S}$ – A New Chalcogeno Halide Type in Thallous Sulphide-Thallous Halide Systems (In German)		
R. BLACHNIK and H. A. DREISBACH	1500	
Synthesis and Crystal Structure of $\text{Cs}_3(\text{AuBr}_4)_2\text{Br}_3$ (In German)		
B. LEHNIS and J. STRÄHLE	1504	
Contributions to the Chemistry of Boron, 124. Tris(trimethylsilyl)silyl Boranes and Tris(trimethylsilyl)silyl Borates (In German)		
W. BIFFAR and H. NÖTH	1509	
Phase Relations in the System Se– $\text{SeCl}_4$ and the Crystal Structure of a Metastable Modification of $\text{SeCl}_4$ (In German)		
P. BORN, R. KNIEP, D. MOOTZ, M. HEIN, and B. KREBS	1516	
Phase Relations in Systems $\text{In}_2\text{X}_3-\text{InY}_3$ and Structural Relations, Crystal Growth and Optical Absorption of Compounds $\text{InXY}$ [X = Se, Te; Y = Cl, Br, I] (In German)		
R. KNIEP, A. WILMS, H. J. BEISTER, and K. SYASSEN	1520	
Organometalloidal Compounds with <i>o</i> -Phenylene Substituents, VII. Crystal and Molecular Structure of 10,15-Dihydro-5 <i>H</i> -5,10,15-trioxa-tribenzo [a,d,g]-cyclononene (Trimeric <i>o</i> -Phenylene Oxide) and its Implications Concerning Preferred Conformations of Compounds $(\text{Arylene})_3\text{X}_3$		
K. v. DEUTEN and G. KLAR	1526	

Chemistry of Polyfunctional Ligands, 69. Three Organo-Arsenic Cage Compounds with Noradamantane Structure (In German)		Reaction Ways to 3-Acyl-2-oxo-cholest-5-enes (In German)
J. ELLERMANN und M. LIETZ	1532	H. BERBALK, K. EICHINGER, G. HEISLER, and R. BAUER
Na <sub>6</sub> Si <sub>2</sub> Te <sub>6</sub> – A New Tellurohypodisilicate (In German)		1607
B. EISENMANN, H. SCHWERER, and H. SCHÄFER	1538	In the Search for New Anticancer Drugs, II. Antitumor Activity, Toxicity and Electron Spin Resonance of Spin Labeled Thio-TEPA Derivatives
Trimethylsilyl Tetrafluorotellurates(VI) (In German)		P. L. GUTIERREZ, M. KONIECZNY, and G. Sosnovsky
B. BILDSTEIN, W. TÖTSCH, and F. SLADKY	1542	1612
Tetrakis(trifluoromethylthiyl)hydrazin – an Unusually Thermolabile Hydrazine Derivative (In German)		Molecular Complexes, V. <sup>1</sup> H NMR Investigation of the Caffeine Benzene Complex Followed by AUS Correction of Experimental Data Structural Requirements for Substances to Serve as Internal Reference in Investigations of Weak Complexes
K. SCHLOSSER	1544	H. STAMM and J. STAFE
Structural Studies in the Systems ZrZn <sub>2-x</sub> Al <sub>x</sub> and HfZn <sub>2-x</sub> Al <sub>x</sub>		1618
A. DRAŠNER and Ž. BLAŽINA	1547	Photolysis of Thiopurines in the Presence of Oxygen
Sn <sub>21</sub> Cl <sub>16</sub> (OH) <sub>14</sub> O <sub>6</sub> , the So-called Basic Tin(II) Chloride (In German)		G. WENSKA and ST. PASZYC
H. G. VON SCHNERING, R. NESPER, and H. PEISSENKE	1551	1628
NMR Spectroscopic Studies on Chalcogen Compounds, III. <sup>77</sup> Se and <sup>13</sup> C NMR Data of Compounds Containing C=S and C=Se Double Bonds (In German)		Pyridine-4-on Nucleoside: Stabilisation of the Structure in the Crystal and in Aqueous Solution (In German)
W. GOMBLER	1561	P. M. KAISER, R. NESPER, K.-F. TEBBE, and H. WITZEL
1,2 <sup>2</sup> 3,3 <sup>1</sup> 3-Azadiphosphiridines – Synthesis, Crystal Structure and Properties (In German)		1632
E. NIECKE, A. NICKLOWEIT-LÜKE, R. RÜGER, B. KREBS, and H. GREWE	1566	Phosphoramides, XIX. Phosphorus Pentoxyde Amine Hydrochloride Reagents in the Synthesis of 3-Amino-1,2-benzisothiazole-1,1-dioxides and 3-Aminothieno[3,4-d]isothiazole-1,1-dioxides
Transition Metal Carbene Complexes, CXXI. Fluorocarbene Complexes of Manganese (In German)		K. G. JENSEN and E. B. PEDERSEN
E. O. FISCHER, W. KLEINE, W. SCHAMBECK, and U. SCHUBERT	1575	1640
Transition-Metal Substituted Phosphanes, Arsanes and Stibanes, XXVII. Tungsten Complexes with Di( <i>tert</i> -butyl)arsino, mono- or dihapto-Di( <i>tert</i> -butyl)thioarsinyl Ligands (In German)		The Allopolarization Principle and its Applications, VI. The Alkylation of Enolate Anions: Polarity and Regioselectivity (In German)
W. MALISCH, M. LUKSZA, and W. S. SHELDICK	1580	R. GOMPPER, H.-H. VOGT, and H.-U. WAGNER
1588	1644	
Phosphine Substituted Chelate Ligands, III. $\eta^5$ -Cyclopentadienyliron Carbonyl Complexes with Thiocarbamoyl-Phosphine, -Phosphine Sulfide and -Phosphine Oxide Ligands (In German)		3,3-Dimethyl-4[2-methyl-1-propenyl]-1,2-dioxetane: Its Thermal Stability and Chemiluminescent Properties
U. KUNZE and A. ANTONIADIS	1588	W. ADAM and O. CUETO
High Field NMR Spectroscopy. <sup>1</sup> H NMR Spectra Analysis of $\eta^1,\eta^2$ -Alkenyl- and $\eta^3$ -Cycloalkenyl- $\eta^5$ -cyclopentadienylnickel Complexes (In German)		1653
R. BENN, J. KLEIN, A. RUFINSKA, and G. SCHROTH	1595	The Photoaddition of Bromotrichloromethane to Acroleindiethylacetal and the Synthesis of 4,4,4-Trichloro- $\Delta^2$ -butenal (In German)
		P. SEIDEL and I. UGI
		1655
<i>Notes</i>		
GaTeCl – a Tetrahedral Layer Structure with Ga–Te Linking of the Black Phosphorus Type (In German)		
A. WILMS and R. KNIEP		
1658		
Crystal Structure of the Stable Modification of SeCl <sub>4</sub> (In German)		
R. KNIEP, L. KORTE, and D. MOOTZ		
1660		
Phosphorus Ylide Complexes of Platinum (In German)		
O. J. SCHERER and H. JUNGMANN		
1663		

---

K <sub>2</sub> PdP <sub>2</sub> and K <sub>2</sub> PtAs <sub>2</sub> , two Further Compounds with a MP <sub>2</sub> (As <sub>2</sub> )-Chain-Structure (In German)	M. BOLDHAUS, C. BLIEFERT, K. BRINK, and R. MATTES	1673
S. RÓZSA and H.-U. SCHUSTER	1666	
Crystal Structure of KFe <sub>2</sub> As <sub>2</sub> , KCo <sub>2</sub> As <sub>2</sub> , KRh <sub>2</sub> As <sub>2</sub> and KRh <sub>2</sub> P <sub>2</sub> (In German)		
S. RÓZSA and H.-U. SCHUSTER	1668	
Partially Oxidised Products of Magnus Green Salt and Similar Conducting Solids	To A. Maihub <i>et al.</i> (35 b, 1435 (1980))	282
G. C. PAPAVASSILIOU and D. LAYEK	To E. Flaskamp <i>et al.</i> (36 b, 114 (1981))	526
Mesylhydroxylamines, V. Polysubstituted N-Mesylhydroxylamines (In German)	To W. Stadlbauer <i>et al.</i> (36 b, 739 (1981))	1204
	To O. Saygin <i>et al.</i> (35 b, 727 (1980))	1340
	Errata in this Volume	

## **Metallorganische Lewissäuren, V [1]**

### **Reaktionen von Carbonyl- $\eta^5$ -cyclopentadienylmolybdäntetrafluoroboraten**

#### **( $\eta^5$ -C<sub>5</sub>H<sub>5</sub>)Mo(CO)<sub>2</sub>(L)FBF<sub>3</sub> (L = CO, PR<sub>3</sub>) mit Phosphanen und Alkenen**

Organometallic Lewis Acids, V [1]

Reactions of Carbonyl- $\eta^5$ -cyclopentadienyl Molybdenum Tetrafluoroborates

( $\eta^5$ -C<sub>5</sub>H<sub>5</sub>)Mo(CO)<sub>2</sub>(L)FBF<sub>3</sub> (L = CO, PR<sub>3</sub>) with Phosphanes and Alkenes

Karlheinz Sünkel, Herbert Ernst und Wolfgang Beck\*

Institut für Anorganische Chemie der Universität München, Meiserstraße 1, D-8000 München 2

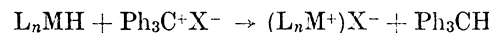
Z. Naturforsch. **36b**, 474–481 (1981); eingegangen am 5. Dezember 1980

Carbonyl- $\eta^5$ -Cyclopentadienyl Molybdenum Complexes, Tetrafluoroborate Complexes, Cationic Organometallic Lewis Acids

Tetrafluoroborate complexes ( $\eta^5$ -C<sub>5</sub>H<sub>5</sub>)Mo(CO)<sub>2</sub>(PR<sub>3</sub>)FBF<sub>3</sub> have been prepared by hydride abstraction from the corresponding hydrido compounds using Ph<sub>3</sub>CBF<sub>4</sub>. The tetrafluoroborate ligand in ( $\eta^5$ -C<sub>5</sub>H<sub>5</sub>)Mo(CO)<sub>2</sub>(L)FBF<sub>3</sub> (L = CO, PR<sub>3</sub>) is easily substituted by phosphanes, *cis*- and *trans*-butene(2),  $\alpha$ -acetamidocinnamic acid and butadiene. Nucleophilic addition of HNMe<sub>2</sub> to the butadiene complex [( $\eta^5$ -C<sub>5</sub>H<sub>5</sub>)Mo(CO)<sub>3</sub> butadiene]<sup>+</sup>BF<sub>4</sub><sup>-</sup> gives the  $\beta$ -aminoacyl chelate compound 7.

## **Einleitung**

Durch Umsetzung von Übergangsmetallhydriden mit Triphenylcarbeniumionen [1] entstehen formale 16-Elektronen-Systeme, die aufgrund ihres elektro-nisch und koordinativ ungesättigten Charakters starke metallorganische Lewissäuren sind.



Die Reaktivität der Kationkomponente hängt davon ab, inwieweit sich die (L<sub>n</sub>M<sup>+</sup>)-Systeme stabilisieren können:

a) durch sterische Hinderung der Phosphan-liganden ist das von Sanders [2] erstmalig auf diesem Weg erhaltene [HRu(PPh<sub>3</sub>)<sub>4</sub>]<sup>+</sup>PF<sub>6</sub><sup>-</sup> stabil;

b) bei der Umsetzung in gut koordinierenden Lösungsmitteln oder in Gegenwart von Wasser entstehen stabile 18-Elektronen-Systeme, wie bei der Reaktion von ( $\eta^5$ -C<sub>5</sub>H<sub>5</sub>)W(NO)<sub>2</sub>H [3] oder (CO)<sub>4</sub>(PPh<sub>3</sub>)MnH [4];

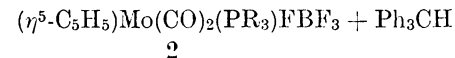
c) das 16-Elektronensystem kann sich schließlich auch durch Wechselwirkung mit dem Anion X<sup>-</sup> stabilisieren. Vor kurzem berichteten wir über Tetrafluoroborat- und Hexafluorophosphat-Komplexe ( $\eta^5$ -C<sub>5</sub>H<sub>5</sub>)(OC)<sub>3</sub>MX (M = Mo, W; X = BF<sub>4</sub>, PF<sub>6</sub>) [1, 5, 6], die in verschiedener Hinsicht für die präparative metallorganische Chemie eingesetzt werden können.

Es erschien von Interesse, den Einfluß der Substitution eines Carbonylliganden in ( $\eta^5$ -C<sub>5</sub>H<sub>5</sub>)Mo(CO)<sub>2</sub>FBF<sub>3</sub> (**1**) durch Phosphane auf die Reaktivität dieser Verbindungen zu untersuchen. Ferner wird in der vorliegenden Arbeit über die Umsetzung der Verbindungen ( $\eta^5$ -C<sub>5</sub>H<sub>5</sub>)Mo(CO)<sub>2</sub>(L)FBF<sub>3</sub> (L = CO, PR<sub>3</sub>) mit verschiedenen Phosphanen und Alkenen berichtet.

## **1. Darstellung und Eigenschaften der Tetrafluoroborato-Komplexe**

### **( $\eta^5$ -C<sub>5</sub>H<sub>5</sub>)Mo(CO)<sub>2</sub>(PR<sub>3</sub>)FBF<sub>3</sub> (**2**)**

Bei der Umsetzung der Hydride ( $\eta^5$ -C<sub>5</sub>H<sub>5</sub>)Mo(CO)<sub>2</sub>(PR<sub>3</sub>)H (R = Ph, Et, OPh) [7] mit Triphenylmethyldtetrafluoroborat in CH<sub>2</sub>Cl<sub>2</sub> bei —55 bis —40 °C entstehen die violetten Verbindungen **2**:



**2**

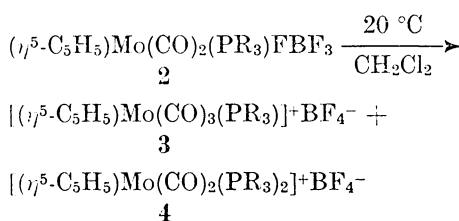
**2a** R = Ph

**2b** R = OPh

**2c** R = Et

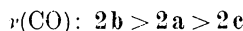
Die festen Verbindungen **2** sind bei —78 °C unter Argon mehrere Wochen unzersetzt haltbar. In CH<sub>2</sub>Cl<sub>2</sub> bilden sich jedoch allmählich unter Liganden-übertragung stabile Salze, deren Kationen 18-Elektronensysteme sind.

\* Sonderdruckanforderungen an Prof. Dr. W. Beck.  
0340-5087/81/0400-0474/\$ 01.00/0



Die durch Carbonylübertragung entstehenden Verbindungen **3** bilden sich dabei rascher als **4**. Solche Ligandenübertragungsreaktionen wurden auch mit  $(\eta^5\text{-C}_5\text{H}_5)\text{Fe}(\text{CO})\text{LBF}_4$  ( $\text{L} = \text{CO}, \text{PPh}_3$ ) [8],  $[\text{Fe}(\text{NO})\text{CO}(\text{PPh}_3)_2]^+\text{BF}_4^-$  [9] und **1** [5] beobachtet.

Die Lage der  $\nu(\text{CO})$ -Banden von **2** zeigt die erwartete Abstufung (vgl. Tab. I)



und entspricht dem Gang der Cyclopentadienylsignale im  $^1\text{H}$ -NMR-Spektrum (Tab. II). Dies ist

aus der in dieser Reihenfolge abnehmenden  $\pi$ -Acidität und dem zunehmenden  $\sigma$ -Donorvermögen der Phosphanliganden  $\text{PR}_3$  zu erwarten.

Die IR-Spektren belegen eindeutig, daß die Verbindungen **2a–c** koordiniertes Tetrafluoroborat enthalten (vgl. [5, 10]).

Die tiefer liegenden  $\nu(\text{BF}_4^-)$ -Banden von **2b** sind durch Absorption des  $\text{P}(\text{OPh})_3$ -Liganden überdeckt. Die hier zu beobachtende Abstufung in der Lage der  $\nu(\text{BF}_4^-)$ -Schwingungen von **2a** und **2c** im Vergleich zu den  $\nu(\text{CO})$ -Banden deutet darauf hin, daß nicht nur elektronische, sondern auch sterische Effekte für die Stärke der Koordination des  $\text{BF}_4^-$ -Anions verantwortlich sind: der sterisch anspruchsvolle Triphenylphosphanligand führt zu einer schwächeren Bindung von  $\text{BF}_4^-$  als Triethylphosphan, obwohl  $\text{PPh}_3$  der schwächere  $\sigma$ -Donor ist und daher das Metall in **2a** stärker lewissauer sein sollte als

Tab. I. IR-Daten ( $\text{cm}^{-1}$ ) der Verbindungen **1–7** und einige Vergleichsverbindungen.

Verbindung	$\nu(\text{CO})$ $\text{CH}_2\text{Cl}_2$	Nujol	Sonstiges
$(\eta^5\text{-C}_5\text{H}_5)\text{Mo}(\text{CO})_3\text{Cl}$ [5]	2057, 1977	2044, 1974, 1935	
$(\eta^5\text{-C}_5\text{H}_5)\text{Mo}(\text{CO})_2\text{PPh}_3\text{Cl}$	1971 vs, 1882 vs	1950 vs, 1858 vs	
$(\eta^5\text{-C}_5\text{H}_5)\text{Mo}(\text{CO})_2\text{PET}_3\text{Cl}$	1962 vs, 1870 vs	1949 vs, 1860 vs, 1836 sh	
$(\eta^5\text{-C}_5\text{H}_5)\text{Mo}(\text{CO})_2\text{P}(\text{OPh})_3\text{Cl}$ [1, 20]	1996, 1919 ( $\text{CHCl}_3$ )		
<b>1</b> $(\eta^5\text{-C}_5\text{H}_5)\text{Mo}(\text{CO})_3\text{FBF}_3$ [5]	2071, 1988	2068, 1977	1130, 884, 722 (in Nujol)
<b>2a</b> $(\eta^5\text{-C}_5\text{H}_5)\text{Mo}(\text{CO})_2\text{PPh}_3\text{FBF}_3$	1991 vs, 1903 vs	1981 vs, 1903 vs	1119, 901, 732 (in Nujol)
<b>2b</b> $(\eta^5\text{-C}_5\text{H}_5)\text{Mo}(\text{CO})_2\text{P}(\text{OPh})_3\text{FBF}_3$	2018 m, 1936 vs	2018 vs, 1942 vs, 1932 vs	1143, . . . , 723 (in Nujol)
<b>2c</b> $(\eta^5\text{-C}_5\text{H}_5)\text{Mo}(\text{CO})_2\text{PET}_3\text{FBF}_3$	1977 vs, 1893 vs		1137 br, 891, 730 (in Nujol)
<b>3a</b> $[(\eta^5\text{-C}_5\text{H}_5)\text{Mo}(\text{CO})_3\text{PPh}_3]^+\text{BF}_4^-$ [5]	2062, 2001, 1975	2056, 1998, 1955	
<b>3b</b> $[(\eta^5\text{-C}_5\text{H}_5)\text{MO}(\text{CO})_3\text{P}(\text{OPh})_3]^+\text{BF}_4^-$	2077 s, 2017 w, 1993 vs	2083 vs, 2026 m, 1987 sh, 1979 vs, 1975 sh	
<b>3c</b> $[(\eta^5\text{-C}_5\text{H}_5)\text{Mo}(\text{CO})_3\text{PEt}_3]^+\text{BF}_4^-$	2056 s, 1993 m, 1966 vs		
<b>4a</b> $[(\eta^5\text{-C}_5\text{H}_5)\text{Mo}(\text{CO})_2(\text{PPh}_3)_2]^+\text{BF}_4^-$	1978 s, 1901 vs	1970 s, 1893 vs	
<b>4b</b> $[(\eta^5\text{-C}_5\text{H}_5)\text{Mo}(\text{CO})_2(\text{PET}_3)_2]^+\text{BF}_4^-$	1963 s, 1884 vs	1947 s, 1859 vs, br	
<b>4c</b> $[(\eta^5\text{-C}_5\text{H}_5)\text{Mo}(\text{CO})_2(\text{PPh}_3)\text{P}(\text{OPh})_3]^+\text{BF}_4^-$	1996 s, 1922 vs		
<b>4d</b> $\{(\eta^5\text{-C}_5\text{H}_5)\text{Mo}(\text{CO})_2[\text{P}(\text{OPh})_3]_2\}^+\text{BF}_4^-$	2021 m, 1941 vs	1999 m, 1918 vs, 1896 w	
<b>5</b> $[(\eta^5\text{-C}_5\text{H}_5)\text{Mo}(\text{CO})_2\text{Z}]^+\text{BF}_4^-$	2066 s, 2022 s, 1678 vs	1595 ( $\nu_{\text{CC}}$ ), 3285 ( $\nu_{\text{NH}}$ ) (Nujol)	
<b>6a</b> $[(\eta^5\text{-C}_5\text{H}_5)\text{Mo}(\text{CO})_3(\text{cis-2-C}_4\text{H}_8)]^+\text{BF}_4^-$		2084, 2025, 1975	1462 sh ( $\nu_{\text{CC}}$ ) (Nujol)
<b>6b</b> $[(\eta^5\text{-C}_5\text{H}_5)\text{Mo}(\text{CO})_3(\text{trans-2-C}_4\text{H}_8)]^+\text{BF}_4^-$		2094, 2030, 1995	1462 sh ( $\nu_{\text{CC}}$ ) (Nujol)
$[(\eta^5\text{-C}_5\text{H}_5)\text{Mo}(\text{CO})_3(1\text{-C}_4\text{H}_8)]^+\text{BF}_4^-$ [21]	2100 w, 2050 s, 1990 s		
<b>6c</b> $[(\eta^5\text{-C}_5\text{H}_5)\text{Mo}(\text{CO})_3(\text{C}_4\text{H}_6)]^+\text{BF}_4^-$	2107, 2057, 1990	2100, 2042, 2002	1618 ( $\nu_{\text{CC}}$ ) (Nujol)
<b>7</b> $(\eta^5\text{-C}_5\text{H}_5)(\text{CO})_2\text{MoCOC}_4\text{H}_6\text{NMe}_2$		1945/1933, 1824/1816	1602/1590 ms, 1582 sh ( $\nu_{\text{CC}}$ in Nujol)

Z =  $\alpha$ -Acetamidozimtsäure.

Tab. II. NMR-Daten der Verbindungen 1–11 und einige Vergleichsverbindungen.

Verbindungen*	$\delta(\text{C}_5\text{H}_5)$ $\text{CD}_2\text{Cl}_2$	$d_6\text{-Aceton}$	$\text{CDCl}_3$	Sonstige
$(\eta^5\text{-C}_5\text{H}_5)\text{Mo}(\text{CO})_3\text{Cl}$ [5]	5,70			
$(\eta^5\text{-C}_5\text{H}_5)\text{Mo}(\text{CO})_2\text{PPh}_3\text{Cl}$			5,38 s	
$(\eta^5\text{-C}_5\text{H}_5)\text{Mo}(\text{CO})_2\text{PEt}_3\text{Cl}$			5,43 s	
$(\eta^5\text{-C}_5\text{H}_5)\text{Mo}(\text{CO})_2\text{P}(\text{OPh})_3\text{Cl}$ [12]			4,96 s	
<b>1</b> $(\eta^5\text{-C}_5\text{H}_5)\text{Mo}(\text{CO})_3\text{FBF}_3$ [5]	6,00 s			
<b>2a</b> $(\eta^5\text{-C}_5\text{H}_5)\text{Mo}(\text{CO})_2\text{PPh}_3\text{FBF}_3$	5,64 s			
<b>2b</b> $(\eta^5\text{-C}_5\text{H}_5)\text{Mo}(\text{CO})_2\text{P}(\text{OPh})_3\text{FBF}_3$	5,37 s			
<b>2c</b> $(\eta^5\text{-C}_5\text{H}_5)\text{Mo}(\text{CO})_2\text{PEt}_3\text{FBF}_3$	5,69 s			
<b>3a</b> $[(\eta^5\text{-C}_5\text{H}_5)\text{Mo}(\text{CO})_3\text{PPh}_3]^{+}\text{BF}_4^{-}$ [4]	5,77 s	6,13 s		
<b>3b</b> $[(\eta^5\text{-C}_5\text{H}_5)\text{Mo}(\text{CO})_3\text{P}(\text{OPh})_3]^{+}\text{BF}_4^{-}$			5,62 s	
<b>3c</b> $[(\eta^5\text{-C}_5\text{H}_5)\text{Mo}(\text{CO})_3\text{PEt}_3]^{+}\text{BF}_4^{-}$			5,91 s	
<b>4a</b> $[(\eta^5\text{-C}_5\text{H}_5)\text{Mo}(\text{CO})_2(\text{PPh}_3)_2]^{+}\text{BF}_4^{-}$	5,03 t	5,31 t		
<b>4b</b> $[(\eta^5\text{-C}_5\text{H}_5)\text{Mo}(\text{CO})_2(\text{PEt}_3)_2]^{+}\text{BF}_4^{-}$ [22]			5,51 t	
<b>4c</b> $[(\eta^5\text{-C}_5\text{H}_5)\text{Mo}(\text{CO})_2(\text{PPh}_3)\text{P}(\text{OPh})_3]^{+}\text{BF}_4^{-}$			5,07 s	
<b>4d</b> $\{(\eta^5\text{-C}_5\text{H}_5)\text{Mo}(\text{CO})_2[\text{P}(\text{OPh})_3]_2\}^{+}\text{BF}_4^{-}$			5,08 s	
<b>5</b> $[(\eta^5\text{-C}_5\text{H}_5)\text{Mo}(\text{CO})_2\text{Z}]^{+}\text{BF}_4^{-}$		6,03		5,44 ( $\text{C-H}_{\text{olef}}$ ) ( $d_6\text{-Aceton}$ )
<b>6a</b> $[(\eta^5\text{-C}_5\text{H}_5)\text{Mo}(\text{CO})_3(\text{cis}-2\text{-C}_4\text{H}_8)]^{+}\text{BF}_4^{-}$	5,97 s ( $-60^\circ$ )			2,02 d ( $\text{CH}_3$ ) ( $-60^\circ$ ) ( $\text{CD}_2\text{Cl}_2$ )
<b>6b</b> $[(\eta^5\text{-C}_5\text{H}_5)\text{Mo}(\text{CO})_3(\text{trans}-2\text{-C}_4\text{H}_8)]^{+}\text{BF}_4^{-}$	5,91 s ( $-20^\circ$ )			1,94 d ( $\text{CH}_3$ ), 4,67 m ( $=\text{CH}$ ) $-20^\circ$ ( $\text{CD}_2\text{Cl}_2$ )
<b>6c</b> $[(\eta^5\text{-C}_5\text{H}_5)\text{Mo}(\text{CO})_3(1\text{-C}_4\text{H}_8)]^{+}$ [21]		6,12		5,70 m (2 H), 5,25 m (1 H), 5,16 t (1 H)
<b>6c</b> $[(\eta^5\text{-C}_5\text{H}_5)\text{Mo}(\text{CO})_3(\text{C}_4\text{H}_6)]^{+}\text{BF}_4^{-}$	5,80 ( $-30^\circ$ )	6,13 ( $-30^\circ$ )		3,76 (1 H), 3,60 (1 H) [ $-30^\circ$ $d_6\text{-Aceton}$ ] 2,85 m + 2,80 m ( $\text{N-CH}_3$ ) [ $d_6\text{-Aceton}$ ]
<b>7</b> $(\eta^5\text{-C}_5\text{H}_5)(\text{CO})_2\text{MoCOC}_4\text{H}_6\text{NMe}_2$		5,39 s + 5,33 s		

\* Abkürzungen: Z =  $\alpha$ -Acetamidozimtsäure.

Tab. III.  $\nu(\text{BF}_4)$ -Banden ( $\text{cm}^{-1}$ ) (in Nujol).

<b>2a</b>	1119, 901, 732
<b>2b</b>	1143, 723
<b>2c</b>	1137 br, 891, 730

in **2c**. Dieser sterische Einfluß der Liganden wird auch bei der Reaktivität der Komplexe festgestellt (vgl. Abschnitt 3).

Aus dem Intensitätsverhältnis der beiden CO-Banden läßt sich der Winkel zwischen den CO-Gruppen in den Verbindungen **2** abschätzen [11]. Während bei allen Ausgangshydriden die *cis*-Isomeren überwiegen [12], bildet sich **2b** bevorzugt als *trans*-Komplex. **2a** und **2c** liegen dagegen ebenfalls in der *cis*-Form vor. Beim Abkühlen von  $\text{CD}_2\text{Cl}_2$ -Lösungen von **2** wird im  $^1\text{H-NMR}$ -Spektrum ein

Tab. IV. Analysendaten\* der Verbindungen 2–7.

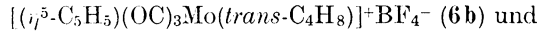
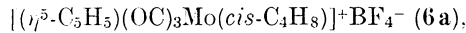
Verbindung	C [%] Ber.	H [%] Gef.	N [%] Ber.	N [%] Gef.
<b>2a</b> $\text{C}_{25}\text{H}_{20}\text{BF}_4\text{MoO}_2\text{P}, 2\text{CH}_2\text{Cl}_2$	44,06	44,95	3,29	3,32
<b>2b</b> $\text{C}_{25}\text{H}_{20}\text{BF}_4\text{MoO}_5\text{P}$	48,89	48,60	3,28	3,95
<b>2c</b> $\text{C}_{13}\text{H}_{20}\text{BF}_4\text{MoO}_2\text{P}$	37,00	35,85	4,78	5,18
<b>3b</b> $\text{C}_{26}\text{H}_{20}\text{BF}_4\text{MoO}_6\text{P}$	48,63	47,86	3,14	3,61
<b>4c</b> $\text{C}_{43}\text{H}_{35}\text{BF}_4\text{MoO}_5\text{P}_2$	58,93	57,35	4,03	4,12
<b>4d</b> $\text{C}_{43}\text{H}_{35}\text{BF}_4\text{MoO}_8\text{P}_2$	55,87	54,01	3,82	3,62
<b>5</b> $\text{C}_{18}\text{H}_{16}\text{BF}_4\text{MoNO}_5$	42,46	41,98	3,17	3,17
<b>6a</b> $\text{C}_{12}\text{H}_{13}\text{BF}_4\text{MoO}_3$	37,15	35,98	3,38	3,40
<b>6b</b> $\text{C}_{12}\text{H}_{13}\text{BF}_4\text{MoO}_3$	37,15	35,08	3,38	3,46
<b>6c</b> $\text{C}_{12}\text{H}_{11}\text{BF}_4\text{MoO}_3$	37,34	36,34	2,87	2,63
<b>7</b> $\text{C}_{14}\text{H}_{17}\text{MoNO}_3$	48,99	48,66	4,99	4,66
				4,08
				3,98

\* **3a**, **3c**, **4a**, **4b** wurden bereits in der Literatur beschrieben [5, 18]. Ihre Analysendaten sind deshalb im experimentellen Teil angegeben.

neuer Satz von C<sub>5</sub>H<sub>5</sub>-Signalen beobachtet, was vermutlich auf eine temperaturabhängige *cis-trans*-Isomerisierung zurückzuführen ist.

## 2. Reaktionen von 1 mit Alkenen

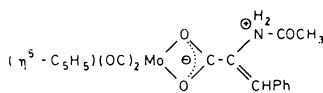
Durch Umsetzungen von ( $\eta^5\text{-C}_5\text{H}_5$ )Mo(CO)<sub>3</sub>FBF<sub>3</sub> mit den Alkenen  $\alpha$ -Acetamidozimtsäure (im folgenden als „Z“ abgekürzt), *cis*- und *trans*-Buten (2) und Butadien bei tiefen Temperaturen (<−40 °C) in CH<sub>2</sub>Cl<sub>2</sub> werden die gelben feinkristallinen Komplexe



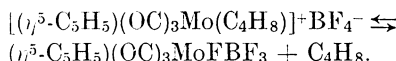
Die ersten kationischen Olefinkomplexe des Typs  $[(\eta^5\text{-C}_5\text{H}_5)\text{Mo}(\text{CO})_3(\text{olefin})]^+$  wurden von E. O. Fischer et al. erhalten [13].

Die Koordination von  $\alpha$ -Acetamidozimtsäure ist im Zusammenhang mit der asymmetrischen Hydrierung von prochiralen Olefinen von Interesse. In einem Rhodiumkomplex wurde die Bindung von  $\alpha$ -Acetamidozimtsäure über die CC-Doppelbindung und das Amid-CO nachgewiesen [14].

Aus der Stöchiometrie von 5 geht hervor, daß die Acetamidozimtsäure als Chelatligand fungiert. Aus dem IR-Spektrum der Substanz, das keine  $\nu(\text{OH})$ -Bande einer freien Carbonsäure zeigt und bei 1595 cm<sup>−1</sup> eine schwache Bande enthält, die als  $\nu(\text{C}=\text{C})$ -Schwingung gedeutet werden kann, wird für 5 folgende Struktur vorgeschlagen:

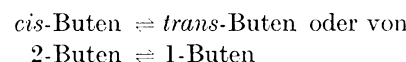


Die beiden Butenkomplexe 6a und 6b sind im festen Zustand bei Raumtemperatur mäßig stabil (6b ist weniger stabil als 6a); in Lösung verlieren sie schon bei tiefen Temperaturen allmählich den Olefinliganden unter Rückbildung der Ausgangssubstanzen. Nach dem NMR-Spektrum ist diese Reaktion reversibel, entsprechend dem Gleichgewicht:



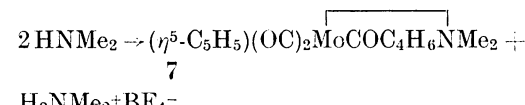
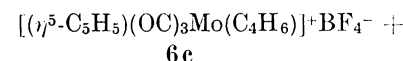
Mit 6a beginnt der Zerfall in die Ausgangsverbindungen bei −30 °C. Bei 0 °C liegt nur noch 20% 6a neben 80% 1 vor, bei Raumtemperatur ist die

Dissoziation fast vollständig. Isomerisierungen, etwa von

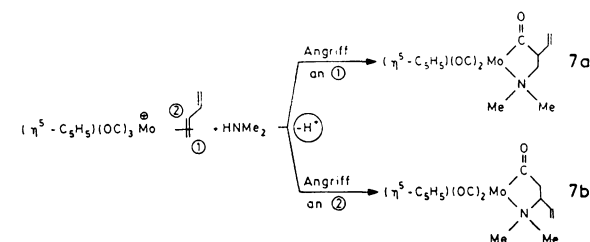


konnten nicht beobachtet werden. Die im Vergleich zu Ethylen schwächere Komplexbildungstendenz von *cis*- und besonders *trans*-Buten ist bekannt und für Olefinkomplexe von Ag(I) quantitativ untersucht worden [15]. Der Butadienkomplex 6c enthält nach den IR- und NMR-Daten das Diolefin nur über eine Doppelbindung koordiniert. Die  $\nu(\text{C}=\text{C})$ -Bande der unkoordinierten Doppelbindung erscheint bei 1618 cm<sup>−1</sup> und liegt damit um 26 cm<sup>−1</sup> höher als im freien Butadien ( $\nu(\text{C}=\text{C}) = 1592 \text{ cm}^{-1}$ ), was durch den Verlust der Konjugation der Doppelbindungen in 6c im Vergleich zum freien Liganden bedingt ist. 6c ist im festen Zustand bei Raumtemperatur mäßig stabil, in Lösung dissoziert der Ligand wie bei 6a und 6b schon bei tiefen Temperaturen ab (−20 °C in CD<sub>2</sub>Cl<sub>2</sub>). Butadien wird durch Aceton reversibel verdrängt unter Bildung des Acetonkomplexes  $[(\eta^5\text{-C}_5\text{H}_5)(\text{OC})_3\text{Mo}(\text{Me}_2\text{CO})]^+\text{BF}_4^-$ .

Die Umsetzungen von kationischen Olefinkomplexen mit Aminen wurden von Rosenblum und Knoth untersucht [16]. Entsprechend setzt sich der Butadienkomplex 6c bei −40 °C mit Dimethylamin um. Durch nucleophilen Angriff des Amins an einer Doppelbindung bildet sich unter CO-Insertion der Metallaacyclus  $(\eta^5\text{-C}_5\text{H}_5)(\text{OC})_2\text{MoCO}\text{C}_4\text{H}_6\text{NMe}_2$  (7):



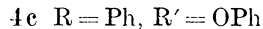
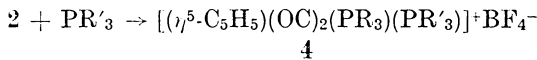
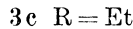
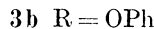
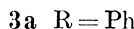
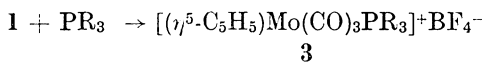
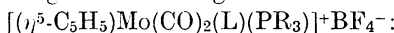
Prinzipiell sind in 6c zwei Angriffs möglichkeiten für das Nucleophil denkbar, nämlich am unsubstituierten wie auch am vinylsubstituierten Kohlenstoffatom der koordinierten Doppelbindung:



Die Verbindungen **7** enthalten ein asymmetrisches Molybdänatom. Verbindungen dieses Typs wurden erstmals von Brunner untersucht [17]. Da in **7** auch der Chelatligand ein chirales Kohlenstoffatom enthält, sollte jedes der Strukturisomeren **7a** und **7b** als Diastereomerenpaar vorliegen. Im  $^1\text{H}$ -NMR-Spektrum von **7** wurden auch 2  $\text{C}_5\text{H}_5$ -Signale und 2  $\text{N}-\text{CH}_3$ -Signale gefunden, die jedoch wohl den Strukturisomeren **7a** und **7b** zuzuordnen sind und nicht den zwei Diastereomeren eines einzelnen Strukturisomeren.

### 3. Reaktionen von **1** und **2** mit Phosphanen

Die Umsetzung von **1** bzw. **2**, mit verschiedenen Phosphanen liefert unter Substitution des  $\text{BF}_4^-$ -Liganden die dunkel- bis hellgelben stabilen salzartigen Verbindungen



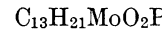
Die Verbindungen **3** und **4** wurden mit Ausnahme von **4c** und **4d** bereits früher auf anderem Weg und z. T. mit anderen Anionen erhalten [5, 18]. Ebenso setzen sich die Cycloheptadienylkomplexe

$\eta^5\text{-C}_7\text{H}_9\text{M}(\text{CO})_3\text{BF}_4$  mit Phosphanen zu den Salzen  $[\eta^5\text{-C}_7\text{H}_9\text{M}(\text{CO})_3\text{PR}_3]^+\text{BF}_4^-$  um [19]. In der Reaktivität der Verbindungen **1** und **2** gegenüber Phosphanen zeigt sich eine deutliche Abstufung, wobei sich **1** schon bei  $-30^\circ\text{C}$  rasch umsetzt. Die Verbindungen **2** reagieren erst bei höherer Temperatur, und zwar werden für **2a** und **2b** wesentlich längere Reaktionszeiten als für **2c** benötigt. Diese Ergebnisse zeigen deutlich, daß für die Reaktivität der Verbindungen **1** und **2** nicht nur elektronische, sondern auch sterische Effekte maßgebend sind: Obwohl bei **2c** der Elektronenmangel am Metall sicherlich geringer ist als bei **2a**, reagiert der Triethylphosphankomplex **2c** deutlich schneller mit den Phosphanen  $\text{PR}_3$ . Dies kann nur dadurch er-

klärt werden, daß in **2a** durch den sterisch anspruchsvollen Triphenylphosphanliganden das lewis-saure Metallzentrum besser abgeschirmt wird als in **2c**, was ja auch in der besseren Koordination des  $\text{BF}_4^-$ -Ions in **2c** im Vergleich zu **2a** zum Ausdruck kommt.

### Experimenteller Teil

Alle Arbeiten wurden unter Argon ausgeführt und nur argongesättigte absolute Lösungsmittel verwendet [1]. Triphenylmethyldiethylefluoroborat wurde von der Fa. Fluka Feinchemikalien, Neu-Ulm bezogen und aus  $\text{CH}_2\text{Cl}_2/\text{Et}_2\text{O}$  umkristallisiert. Alle übrigen Chemikalien waren Handelsprodukte und wurden, soweit nicht anders beschrieben, ohne weitere Vorreinigung eingesetzt.  $(\eta^5\text{-C}_5\text{H}_5)\text{Mo}(\text{CO})_3\text{H}$  wurde in leicht modifizierter Weise nach R. B. King [23],  $(\eta^5\text{-C}_5\text{H}_5)\text{Mo}(\text{CO})_2\text{PPh}_3\text{H}$  aus  $(\eta^5\text{-C}_5\text{H}_5)\text{Mo}(\text{CO})_3\text{H}$  und  $\text{PPh}_3$  in Toluol ( $\text{R} = \text{Ph}$ ) bzw. Hexan ( $\text{R} = \text{OPh}$ , Et) entsprechend dem Verfahren von M. Green [7a] bzw. R. Poilblanc [7b] dargestellt. Der Triethylphosphankomplex wurde bisher noch nicht beschrieben:  $(\eta^5\text{-C}_5\text{H}_5)\text{Mo}(\text{CO})_2(\text{PET}_3)\text{H}: \nu_{\text{CO}}(\text{CH}_2\text{Cl}_2) = 1928 \text{ cm}^{-1}, 1844 \text{ cm}^{-1}, \delta(\text{C}_5\text{H}_5)(\text{CD}_2\text{Cl}_2, 0^\circ) = 5,23 \text{ s}$ .



Ber. C 46,44 H 6,30,  
Gef. C 45,32 H 6,04.

Die zu Vergleichszwecken benötigten Chlorokomplexe  $(\eta^5\text{-C}_5\text{H}_5)\text{Mo}(\text{CO})_2\text{LCl}$  ( $\text{L} = \text{CO}, \text{PPh}_3, \text{PET}_3$ ) wurden aus den Hydriden und  $\text{CCl}_4$  erhalten.  $(\eta^5\text{-C}_5\text{H}_5)\text{Mo}(\text{CO})_2\text{PET}_3\text{Cl}$  wurde bisher noch nicht beschrieben (IR- und NMR-Daten vgl. Tabn. I und II).



Ber. C 42,12 H 5,44,  
Gef. C 41,99 H 5,31.

### Dicarbonylcyclopentadienyltetrafluoroboratotriphenylphosphanimolybdän (2a)

1,0 mmol  $\text{Ph}_3\text{C}^+\text{BF}_4^-$  werden in 10 ml  $\text{CH}_2\text{Cl}_2$  gelöst und auf  $-45^\circ\text{C}$  gekühlt. Dann wird das  $(\eta^5\text{-C}_5\text{H}_5)\text{Mo}(\text{CO})_2\text{PPh}_3\text{H}$  spatelweise bis zum Farbumschlag von dunkelrot nach violett zugegeben. Nach etwa 30 min ist ein feinpulvrig violetter Niederschlag ausgefallen, der abzentrifugiert und dreimal bei  $-60^\circ\text{C}$  mit je 10 ml Hexan gewaschen wird. Es wird 2 h im Hochvakuum ( $10^{-3}$  Torr, bei  $-20^\circ\text{C}$ ) getrocknet.

### Dicarbonylcyclopentadienyltetrafluoroboratotriphenylphosphitimolybdän (2b)

Etwa 1 mmol  $\text{Ph}_3\text{C}^+\text{BF}_4^-$  werden in 5 ml  $\text{CH}_2\text{Cl}_2$  gelöst und bei  $-53^\circ\text{C}$  spatelspitzenweise mit  $(\eta^5\text{-C}_5\text{H}_5)\text{Mo}(\text{CO})_2\text{P}(\text{OPh})_5\text{H}$  bis zum plötzlichen Farbumschlag nach violett versetzt. Nach weiteren 15 min bei  $-45^\circ\text{C}$  wird auf  $-78^\circ\text{C}$  abgekühlt und

20 ml Hexan zugefügt. Nach 25 min hat sich ein dunkles Öl abgeschieden. Anschließend wird bei  $-40^{\circ}\text{C}$  eingeengt ( $\text{CH}_2\text{Cl}_2$  verflüchtigt sich eher als Hexan), von dem violetten Niederschlag abdekantiert und bei  $-78^{\circ}\text{C}$  zweimal mit je 20 ml Hexan gewaschen. Anschließend wird 7 h im HV bei  $-30^{\circ}\text{C}$  getrocknet.

#### *Dicarbonylcyclopentadienyltriethylphosphantetrafluoroboratomolybdän (2c)*

Auf etwa 1 mmol  $\text{Ph}_3\text{C}^+\text{BF}_4^-$  werden bei  $-196^{\circ}\text{C}$  ca. 10 ml  $\text{CH}_2\text{Cl}_2$  aufkondensiert; anschließend wird  $(\eta^5\text{-C}_5\text{H}_5)\text{Mo}(\text{CO})_2\text{PEt}_3\text{H}$  bis zum Farbumschlag nach violett bei  $-60^{\circ}\text{C}$  zugesetzt und drei Stunden bei dieser Temperatur gerührt. Nach Zugabe von 10 ml Hexan wird eine Stunde bei  $-70$  bis  $-55^{\circ}\text{C}$  gerührt, dann auf die Hälfte eingeengt und nochmals 10 ml Hexan bei  $-45^{\circ}\text{C}$  zugesetzt. Von dem dabei entstandenen Öl wird bei  $-60^{\circ}\text{C}$  abdekantiert; dieses wird 75 min bei  $-50$  bis  $-40^{\circ}\text{C}$  mit 10 ml Hexan verrührt und der entstandene feinkristalline violette Niederschlag abzentrifugiert. Anschließend wird 14 h bei  $-40$  bis  $-18^{\circ}\text{C}$  im HV getrocknet.

#### *Tricarbonylcyclopentadienyltriphenylphosphit-molybdäntetrafluoroborat (3b) und*

#### *Tricarbonylcyclopentadienyltriethylphosphan-molybdäntetrafluoroborat (3c)*

Zu der violetten Lösung von ca. 1 mmol **1** in 10 ml  $\text{CH}_2\text{Cl}_2$  wird bei  $-30^{\circ}\text{C}$  Triphenylphosphit bzw. Triethylphosphan in geringem molaren Überschuß gegeben. Es tritt sofort eine Rottfärbung auf, die im Falle des Triethylphosphans bald in gelb übergeht. Bei Versetzen der hellroten Lösung von **3b** bei  $-23^{\circ}\text{C}$  mit etwa 10 ml Hexan entsteht ein gelber Niederschlag, der aber bald ölt. Nach Abziehen der Lösungsmittel wird mit einem Gemisch von 10 ml Ether und 1 ml  $\text{CH}_2\text{Cl}_2$  versetzt, worauf ein feinkristalliner schwachgelber Niederschlag ausfällt. Die Lösung wird abdekantiert, der Niederschlag mit Ether gewaschen und 2 h bei  $+5$  bis  $+25^{\circ}\text{C}$  getrocknet. Aus der gelben Lösung von **3c** läßt sich mit 6 ml Pentan ein feinkristalliner gelber Niederschlag fällen, der nach Abdekantieren der Lösung mit Pentan gewaschen und 2 h bei RT und  $10^{-2}$  Torr getrocknet wird.

#### *Dicarbonylcyclopentadienyl-bis(triphenylphosphan)-molybdäntetrafluoroborat (4a)*

Bei  $-55^{\circ}\text{C}$  wird etwa 0,5 mmol **2a** in 15 ml  $\text{CH}_2\text{Cl}_2$  mit 0,75 mmol Triphenylphosphan versetzt und im Laufe von 10 h auf RT gebracht. Nach Zugabe von 10 ml  $\text{Et}_2\text{O}$  läßt sich ein purpurfarbener Niederschlag fällen, der nach mehrmaligem Extrahieren mit  $\text{Et}_2\text{O}$  ein gelbes Produkt zurückließ. Das gelbe Produkt wurde zweimal aus  $\text{CH}_2\text{Cl}_2/\text{Et}_2\text{O}$  (1:1,2) umkristallisiert und bei  $+25^{\circ}\text{C}$  im HV getrocknet. Trotz IR- und NMR-spektroskopischer Reinheit konnte keine befriedigende Analyse erhalten werden.

#### *Dicarbonylcyclopentadienyl-bis(triethylphosphan)-molybdäntetrafluoroborat (4b)*

Etwa 0,5 mmol **2c** in 10 ml  $\text{CH}_2\text{Cl}_2$  werden bei  $-30^{\circ}\text{C}$  mit 0,8 mmol Triethylphosphan versetzt. Innerhalb 15 min verfärbt sich die violette Lösung nach weinrot. Nach 4 Tagen Rühren bei Raumtemperatur wird mit 10 ml Hexan gefällt. Vom ausgefallenen schwarzen Öl wird abdekantiert und das Öl mit 30 ml  $\text{Et}_2\text{O}$  zur Kristallisation gebracht. Der hellgelbe Niederschlag wird mit Ether gewaschen und aus Aceton/Hexan/Ether (2:1:2) umkristallisiert und das gelbe Produkt 1 h bei  $10^{-2}$  Torr getrocknet.



Ber. C 42,25 H 6,53,  
Gef. C 42,44 H 6,62.

#### *Dicarbonylcyclopentadienyltriphenylphosphan-triphenylphosphit-molybdäntetrafluoroborat (4c)*

a) Etwa 0,25 mmol **2a** in 5 ml  $\text{CH}_2\text{Cl}_2$  werden mit 0,27 mmol Triphenylphosphit bei  $-37^{\circ}\text{C}$  umgesetzt und im Laufe von 2,5 h auf  $-15^{\circ}\text{C}$  gebracht. Nach Einengen auf etwa ein Zehntel wird mit 20 ml  $\text{Et}_2\text{O}$  versetzt. Der feinkristalline gelbe Niederschlag wird nach einer Stunde abzentrifugiert, mit 5 ml  $\text{CH}_2\text{Cl}_2$  aufgenommen und nach Zusatz von 20 ml  $\text{Et}_2\text{O}$  auf  $-60^{\circ}\text{C}$  gekühlt. Das so erhaltene gelbe Produkt wird isoliert, mit Ether gewaschen und 8 h bei  $30^{\circ}\text{C}$  im HV getrocknet.

b) Überschüssiges Triphenylphosphan wird bei 0 °C zu einer Lösung von etwa 0,8 mmol **2b** in 10 ml  $\text{CH}_2\text{Cl}_2$  gegeben und langsam auf RT gebracht. Nach einer Woche wird mit 10 ml Pentan versetzt und auf  $-78^{\circ}\text{C}$  gekühlt, wobei ein gelbes Pulver und ein oranges Öl ausfallen. Nach dem Abgießen der Lösung wird der Niederschlag mit Hexan gewaschen und getrocknet. Beim Eindunsten der Mutterlauge hinterbleiben orangegelbe Kristalle, die einen starken Geruch nach Phenol (Phenol entsteht bei langsamer Hydrolyse von Triphenylphosphit an Luft) aufweisen. Der getrocknete Niederschlag zeigt im IR 4 Banden im CO-Gebiet auf, die durch Vergleich **4a** und **4c** zugeordnet werden können.

#### *Dicarbonylcyclopentadienyl-bis(triphenylphosphit)-molybdäntetrafluoroborat (4d)*

Etwa 0,4 mmol **2b** in 10 ml  $\text{CH}_2\text{Cl}_2$  werden bei  $-50^{\circ}\text{C}$  mit 0,45 mmol Triphenylphosphit versetzt und innerhalb 5 h auf  $-25^{\circ}\text{C}$  gebracht. Dabei verfärbt sich die Lösung von violett nach rot. Durch Zugabe von 20 ml Hexan bei  $-70^{\circ}\text{C}$  läßt sich ein dunkles Öl unter einer roten Lösung ausfällen. Es wird zur Trockene abgezogen, bei  $-60^{\circ}\text{C}$  mit 20 ml Ether und 2 ml  $\text{CH}_2\text{Cl}_2$  verrührt und der orangegelbe Niederschlag isoliert. Er wird aus  $\text{CH}_2\text{Cl}_2/\text{Et}_2\text{O}$  (2:11) umkristallisiert, wobei rötlichgelbe kleine Kristalle erhalten werden, die 4 h bei  $10^{-2}$  Torr und RT getrocknet werden.

*( $\alpha$ -Acetamidozimtsäure)dicarbonylcyclopentadienylmolybdäntetrafluoroborat (5)*

Zu der violetten Reaktionslösung von ( $\eta^5\text{-C}_5\text{H}_5$ ) $\text{Mo}(\text{CO})_3\text{FBF}_3$  (2,56 mmol) in 10 ml  $\text{CH}_2\text{Cl}_2$  wird eine äquimolare Menge  $\alpha$ -Acetamidozimtsäure bei  $-78^\circ\text{C}$  gegeben. Während die dunkelviolette Lösung auf RT gebracht wird, verfärbt sie sich rot, wobei ein hellroter Niederschlag ausfällt, der bei Zusatz von 25 ml  $\text{Et}_2\text{O}$  verölt. Nach Abziehen der Lösungsmittel wird mit 20 ml  $\text{CH}_2\text{Cl}_2$  aufgenommen, aus dem nach 15 min ein heller Niederschlag ausfällt, der abzentrifugiert, mit Pentan gewaschen (3-mal 15 ml) und getrocknet (3 h im HV) wird.

*cis-Buten(2)-tricarbonylcyclopentadienylmolybdäntetrafluoroborat (6a)*

Auf die violette Lösung von ca. 3 mmol **1** in 20 ml  $\text{CH}_2\text{Cl}_2$  wird trockenes *cis*-Buten-(2) (Molekularsieb 4A) bei  $-40^\circ\text{C}$  kondensiert. Im Lauf einer halben Stunde ist eine Verfärbung der Lösung nach hellrot zu beobachten, während ein flockiger gelber Niederschlag ausfällt. Nach Abzentrifugieren und Waschen mit Pentan wird 3 h im HV bei  $-20^\circ\text{C}$  getrocknet.

*trans-Buten(2)-tricarbonylcyclopentadienylmolybdäntetrafluoroborat (6b)*

Bei  $-50^\circ\text{C}$  wird auf eine Lösung von ca. 3 mmol **1** in 15 ml  $\text{CH}_2\text{Cl}_2$  getrocknetes *trans*-Buten-(2) im Überschuß kondensiert. Beim Auftauen bis  $-30^\circ\text{C}$  fällt ein dunkelvioletter Niederschlag von **1** aus, der sich bei  $+5^\circ\text{C}$  wieder auflöst, wobei dann ein gelber Niederschlag fällt. Dieser wird abzentrifugiert, mit Pentan gewaschen und 3 h im HV bei  $-20^\circ\text{C}$  getrocknet.

*Butadientricarbonylcyclopentadienylmolybdäntetrafluoroborat (6c)*

Butadien wird im Überschuß bei  $-55^\circ\text{C}$  zur Lösung von ca. 2 mmol **1** in 20 ml  $\text{CH}_2\text{Cl}_2$  einkondensiert. Beim langsamem Auftauen auf  $-40^\circ\text{C}$  fallen nach 1,5 h gelbe Kristalle aus, die abzentrifugiert, mit Pentan gewaschen und 2 h im HV bei  $-20^\circ\text{C}$  getrocknet werden.

*Tricarbonylcyclopentadienyl-(2-vinyl-(3-N,N-dimethylaminopropionyl)molybdäntetrafluoroborat (7a)* und *Tricarbonylcyclopentadienyl(3,3-vinyl-N,N-dimethylaminopropionyl)molybdäntetrafluoroborat (7b)*

Zur aufgerührten Suspension von ca. 2 mmol **6c** in 20 ml  $\text{CH}_2\text{Cl}_2$  wird über KOH getrocknetes Dimethylamin bei  $-40^\circ\text{C}$  eingeleitet. Schlagartig löst sich die Suspension, während sich die Lösung rot färbt. Nach Einengen auf ca. 5 ml wird das Reaktionsprodukt viermal mit 25 ml Toluol extrahiert. Der eingeengte Toluolextrakt wird abzentrifugiert, das gelbe feinkristalline Produkt mit Pentan gewaschen und 2 h im HV bei  $+20^\circ\text{C}$  getrocknet.

Der Deutschen Forschungsgemeinschaft und dem Fonds der Chemischen Industrie sind wir für die Förderung unserer Arbeiten zu besonderem Dank verpflichtet. Herrn Dr. K. Schloter danken wir für wertvolle Diskussionen, Fräulein cand. chem. S. v. Norman, Herrn cand. chem. J. Geisenberger und Herrn cand. chem. E. Ambach für experimentelle Mitarbeit und Frau G. Hanatschek für die Aufnahme der IR-Spektren.

- [1] III. Mitteilung: K. Schloter und W. Beck, Z. Naturforsch. **35b**, 985 (1980); IV. Mitteilung: B. Olgemöller und W. Beck, Angew. Chem. **92**, 863 (1980).
- [2] J. R. Sanders, J. Chem. Soc. Dalton **1973**, 743.
- [3] P. Legzdins und D. T. Martin, Inorg. Chem. **18**, 1250 (1979).
- [4] P. J. Harris, S. A. R. Knox, R. J. McKinney und F. G. A. Stone, J. Chem. Soc. Dalton **1978**, 1009.
- [5] W. Beck und K. Schloter, Z. Naturforsch. **33b**, 1214 (1978).
- [6] K. Schloter, U. Nagel und W. Beck, Chem. Ber. **113** (1980), im Druck.
- [7] a) A. Bainbridge, R. J. Craig und M. Green, J. Chem. Soc. A **1968**, 2715;  
b) P. Kalek, R. Pinco, R. Poilblanc und J. Roussel, J. Organomet. Chem. **24**, 445 (1970).
- [8] a) D. L. Reger, C. J. Coleman und P. J. McElligott, J. Organomet. Chem. **171**, 73 (1979);  
b) D. L. Reger und C. J. Coleman, Inorg. Chem. **18**, 3155 (1979).
- [9] J. L. A. Roustan, J. Y. Merour und A. Forgues, J. Organomet. Chem. **186**, C 23 (1980).
- [10] K. Richter, E. O. Fischer und C. G. Kreiter, J. Organomet. Chem. **122**, 187 (1976).
- [11] W. Beck, A. Melnikoff und R. Stahl, Chem. Ber. **99**, 3721 (1966).
- [12] J. W. Faller und A. S. Anderson, J. Am. Chem. Soc. **92**, 5852 (1970).
- [13] a) E. O. Fischer und K. Fichtel, Chem. Ber. **94**, 1200 (1961);  
b) E. O. Fischer, K. Fichtel und K. Öfele, Chem. Ber. **95**, 249 (1962).
- [14] A. S. C. Chan, J. J. Pluth und J. Halpern, J. Am. Chem. Soc. **102**, 5952 (1980).
- [15] M. A. Muhs und F. T. Weiss, J. Am. Chem. Soc. **84**, 4697 (1962).
- [16] a) M. Rosenblum, Acc. Chem. Res. **7**, 122 (1974);  
b) W. H. Knoth, Inorg. Chem. **14**, 1566 (1975).
- [17] Vgl. z.B. H. Brunner und R. Lukas, Chem. Ber. **112**, 2528 (1979) und die dort zitierte Literatur.

- [18] a) P. M. Treichel, K. W. Barnett und R. L. Shubkin, *J. Organomet. Chem.* **7**, 449 (1967);  
b) R. J. Haines, R. S. Nyholm und M. H. B. Stiddard, *J. Chem. Soc. A* **1968**, 43;  
c) M. J. Nolte und R. H. Reimann, *J. Chem. Soc. Dalton* **1978**, 932.
- [19] a) A. Salzer und H. Werner, *Z. Anorg. Allg. Chem.* **418**, 88 (1975);  
b) A. Salzer und H. Werner, *J. Organomet. Chem.* **87**, 101 (1975).
- [20] M. J. Mays und S. M. Pearson, *J. Chem. Soc. A* **1968**, 2291.
- [21] S. Fadel, K. Weidenhammer und M. L. Ziegler, *Z. Anorg. Allg. Chem.* **453**, 98 (1979).
- [22] A. R. Manning, *J. Chem. Soc. A* **1967**, 1984.
- [23] R. B. King, *Organomet. Synth.* **1**, 156 (1965).